

الجمهورية الجزائرية الديمقراطية الشعبية

République Algérienne Démocratique et Populaire

8/86

2 EX

وزارة التعليم و البحث العلمي

Ministère de l'Enseignement et de la Recherche Scientifique

**ECOLE NATIONALE POLYTECHNIQUE**

Département : Génie Civil

السراة الوطنية المتعددة التقنيات  
BIBLIOTHEQUE — المكتبة —  
Ecole Nationale Polytechnique

**PROJET DE FIN D'ETUDES**

SUJET

**RESERVOIR D'EAU  
SEMI - ENTERRE**

Proposé par :

DHWA

Etudié par

M. CHAKAL Abdelhamid  
BENABDESSALAM Hamid

Dirigé par :

M. HAMOUTENE

Promotion : Janvier 86



الجمهورية الجزائرية الديمقراطية الشعبية

République Algérienne Démocratique et Populaire

وزارة التعليم و البحث العلمي

Ministère de l'Enseignement et de la Recherche Scientifique

**ECOLE NATIONALE POLYTECHNIQUE**

Département : Génie Civil



**PROJET DE FIN D'ETUDES**

**SUJET**

**RESERVOIR D'EAU  
SEMI - ENTERRE**

Proposé par :

DHWA

Etudié par

M. CHAKAL Abdelhamid  
BENABDESSLEM Hamid

Dirigé par :

M. HAMOUTENE

Promotion : Janvier 86

# REMERCIEMENTS

المدرسة الوطنية المتعددة التقنيات  
BIBLIOTHEQUE — المكتبة  
Ecole Nationale Polytechnique

Nous tenons à exprimer notre profonde gratitude  
à notre promoteur M<sup>E</sup> HAMOUTENE pour ses conseils  
à chacune de nos entrevues, et à tout le personnel de la DHWA  
pour les services qu'il nous a rendu.

Nous tenons par ailleurs à remercier vivement tous ceux qui ont  
contribué par leur aide à la réalisation de ce projet et notamment  
M<sup>E</sup> OULD. HAMADOUCHE.

## - DEDICACES

المدرسة الوطنية المتعددة التقنيات  
BIBLIOTHEQUE — المكتبة  
Ecole Nationale Polytechnique

Nous dédions ce modeste travail:

- à nos parents
- à nos proches
- à nos amis
- à nos professeurs

Flamid et Abd el Flamid

# PLAN D'ETUDE

Pages:

1.	Généralités .....	1
2.	Caracteristiques des matériaux .....	4
3.	Etude de la coupole .....	9
4.	Etude des parois .....	17
5.	Etude hydro dynamique .....	33
6.	Chambre des vannes .....	52
7.	Fondations .....	60

المدرسة الوطنية المتعددة التقنيات  
المكتبة —  
BIBLIOTHEQUE —  
Ecole Nationale Polytechnique

# INTRODUCTION ET GENERALITES

## GENERALITES

Il n'échappe à personne l'importance des réservoirs d'eau, aussi bien élevés qu'enterrés dans la vie économique et sociale d'une nation.

### \* Rôle du réservoir d'eau:

Il a pour rôle essentiel de régulariser les variations de la consommation selon les besoins et les périodes.

Il doit aussi contenir en tout temps une réserve suffisante et ce pour faire face à une interruption imprévue des installations de refoulement.

### \* Classification des réservoirs:

Les réservoirs peuvent être classés en fonction des critères suivants:

a - Selon la position par rapport au sol

(au niveau du sol - sur poteau - sur pylônes - sur bâtiment)

b - Selon la forme de la cuve

(carré, rectangulaire, circulaire...)

c - Selon le volume :

(grand réservoir, moyen réservoir, petit réservoir)

d - Selon la nature du liquide

(réservoir d'eau, de vins, - citernes à produits noirs (goudron, bitume) - réservoir à hydrocarbures (pétrole, essence...))

### \* Caractéristique d'un réservoir

Un réservoir doit présenter les impératifs suivants

#### a) Résistance:

L'ouvrage doit équilibrer les efforts auxquels il est soumis : poids propre - poids de l'eau - surcharges d'exploitation - efforts dus aux vents et au séisme - retrait - fluage...

#### b) Durabilité:

Le matériau qui constitue le réservoir doit conserver toutes ses propriétés initiales et ce après un long contact avec l'eau

#### c) Etanchéité:

Le réservoir doit présenter une étanchéité absolue et parfaite afin de préserver la cuve contre toute fissure.

## PRESENTATION DE L'OUVRAGE

### a) Caractéristique du réservoir

L'ouvrage que nous proposons d'étudier est un réservoir se caractérisant par :

- Capacité :  $2500 \text{ m}^3$
- Hauteur utile d'eau : 7 m
- Matériau utilisé : Béton armé
- Forme géométrique : Cuve cylindrique
- Site : ALGER
- Taux de travail du sol : 1 bars

### b) Description du réservoir

Le réservoir étudié est composé de deux cuves cylindriques de capacité de  $2500 \text{ m}^3$  chacune et de diamètre intérieur 10,70 m, séparées par une chambre de rennes de dimensions :  $4,80 \times 4,20 \text{ m}^2$

La couverture est assurée par une coupole d'épaisseur 8cm et de flèche 2,5m, possédant un lanterneau et une ouverture pour d'éventuelles réparations.

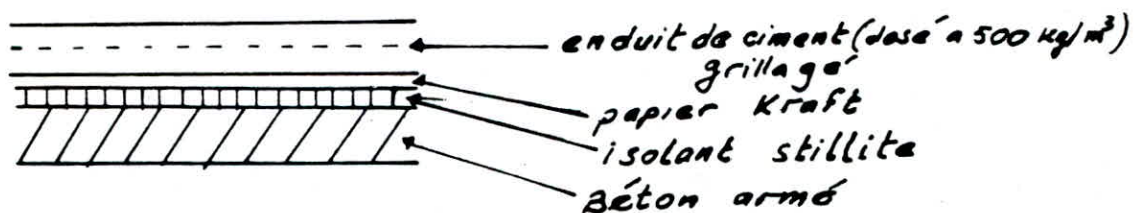
La fondation est assurée par un radier d'épaisseur 50cm.

### c) Revêtement - Etanchéité - Isolation

Les règles imposées par l'hygiène (éviter une contamination de l'eau), ainsi que l'influence des facteurs atmosphériques nous imposent des revêtements extérieurs et intérieurs

#### \* Pour la coupole

Comme le réservoir sera implanté à ALGER, on bénéficiera de son climat tempéré, doux qui ne comporte pas de grands écarts thermiques; nous nous contenterons donc d'un revêtement d'étanchéité pour la coupole de couverture qui consistera en :



#### \* Pour les parois

L'expérience que dans le cas des grands réservoirs (au delà de  $800 \text{ m}^3$ ), l'inertie thermique de la masse d'eau d'une part et de la masse du béton d'autre part, sont telles que les variations de température de l'eau sont relativement faibles de l'été à l'hiver et que par suite toute isolation thermique est dans ce cas superflue. Donc il n'est pas nécessaire de prévoir un système d'isolation thermique.

Par contre pour l'étanchéité on prévoit des enduits pour améliorer l'imperméabilité des parois et de les protéger. Ces enduits seront en mortier de ciment et en deux couches en principe dosés à  $500 \text{ Kg/m}^3$  de sable sec sur couche d'accrochage (dose à  $400 \text{ Kg/m}^3$ ).

- la première couche forme le dégrassi
- la deuxième couche forme l'enduit proprement dit.

N.B.: le lissage de la 2<sup>e</sup> couche avec un feutre est recommandé.

#### d). Recommandation

Il est conseillé d'éviter des ciments de fabrication récente (ciments chauds) dont le retrait serait préjudiciable à l'étanchéité.

CARACTÉRISTIQUES

DES

MATERIAUX

## 1. Beton:

On utilisera un béton très étanche. Pour cela, le dosage sera porté à 400 kg/m<sup>3</sup>. de C.P.A 325 avec un contrôle atténué

### 1.1. Contrainte de compression admissible : noté $\bar{\sigma}_b'$ .

$$\bar{\sigma}_b' = s_b' \sigma_n'$$

$\sigma_n'$ : contrainte d'écrasement du béton  
(ou résistance nominale) après 28 jours

$s_b' = \alpha \cdot \beta \cdot \gamma \cdot \delta \cdot \epsilon$  . ( $s_b'$  étant une fraction de  
sa résistance nominale)

$\alpha, \beta, \gamma, \delta$  et  $\epsilon$  sont des facteurs sans dimensions

—  $\alpha$ : dépend de la classe du ciment utilisé. C.P.A 325  $\Rightarrow \alpha = 1$

—  $\beta$ : coefficient tenant compte de l'efficacité du contrôle exercé  
sur la qualité du béton mis en œuvre  $\beta = 5/6$  Contrôle atténue  
 $\beta = 1$  Contrôle stricte

—  $\gamma$ : dépend des épaisseurs relatives  $h_m$  des éléments de construction  
et des dimensions des granulats,  $C_g$ :  $\begin{cases} \gamma = 1 & \text{si } h_m > 4C_g \\ \gamma = \frac{h_m}{4C_g} & \text{si non} \end{cases}$

Dans notre cas  $\gamma = 1$

—  $\delta$ : dépend de la nature des sollicitations

$\delta = 0,30$  compression simple

$\delta = 0,60$  flexion simple et en flexion composée quand  
l'effort normal est une traction

$\delta = 0,30 \left( 1 + \frac{e_0}{3\delta_1} \right)$  avec un maximum de 0,6.

flexion composée quand l'effort est une  
compression.

avec :

$e_0$ : excentricité de la force extérieure par rapport au e.d.g  
de la section complète du béton seul.

$e_1$ : rayon vecteur de même signe que  $e_0$  du rayon central.  
situé dans le même plan radial par le centre de pression

Exemple:

section annulaire de faible épaisseur

soit  $D$  diamètre moyen. on aura alors:  $e_1 = \frac{D}{4}$

pour  $0 < e_0 \leq 0,75D \Rightarrow \delta = 0,30 \left( 1 + \frac{1,33 e_0}{D} \right)$

pour  $e_0 \geq 0,75D \Rightarrow \delta = 0,60$

—  $\epsilon$ : dépend de la nature de la sollicitation et de la forme de  
la section. Elle est toujours comprise entre:  $0,5 < \epsilon \leq 1$

\* Compression simple:  $\epsilon = 1$

les autres cas on prendra aussi  $\epsilon = 1$ .

finallement on obtient :

a/ SOUS SP1 :

\* compression simple :  $\bar{\sigma}_b' = 1 \times \frac{5}{6} \times 1 \times 0.3 \times 1 \times 300 = 75$  bars

\* flexion simple :  $\bar{\sigma}_b' = 1 \times \frac{5}{6} \times 1 \times 0.6 \times 1 \times 300 = 150$  bars

b/ SOUS SP2.

\* compression simple :  $\bar{\sigma}_b' = 1.5 \bar{\sigma}_b' (\text{sous SP1}) = 112.5$  bars

\* flexion simple :  $\bar{\sigma}_b' = 1.5 \bar{\sigma}_b' (\text{sous SP1}) = 225$  bars

1.2. contrainte de traction de référence : noté  $\bar{\sigma}_b$

c'est la fraction  $f_b$  de sa résistance à la compression à 28 j

$$\bar{\sigma}_b = f_b \cdot \bar{\sigma}'_{28} \quad \text{ou} \quad f_b = \alpha \cdot \beta \cdot \gamma \cdot \theta$$

\*  $\alpha, \beta, \gamma$  : coefficients gardant la même signification qu'au paravant.

\*  $\theta = 0.018 + \frac{2.1}{\bar{\sigma}'_n}$  avec  $\bar{\sigma}'_n = 300$  bars

$$\theta = 0.018 + \frac{2.1}{300} = 0.025$$

On obtient donc :  $\bar{\sigma}_b = 1 \cdot \frac{5}{6} \times 1 \times 0.025 \times 300 = 6.25$  bars

Remarques :

a/ Le fait de définir une contrainte de traction de référence n'entraîne pas, l'obligation de limiter à cette valeur la contrainte de traction du béton calculée en prenant en considération les sections tendues homogènes ( $B + nA$ )

b/ Étant faible est difficile à respecter, le nouveau texte du cahier des charges applicables à la construction des réservoirs et cuves en béton armé établit par la chambre syndicale des constructeurs en ciment armé en 1966 prévoit une contrainte admissible de traction  $\bar{\sigma}_b$  égale à :

$$\bar{\sigma}_b = \theta \bar{\sigma}_{28} \quad \bar{\sigma}_{28} : \text{limite de rupture extraction à 28 jours.}$$

$$\bar{\sigma}_{28} \leq 22 \text{ bars}$$

$$\theta : \text{coefficient } \begin{cases} \theta = 1 & \text{traction simple} \\ \theta = 1 + 2e_0 & \text{flexion compressé} \end{cases}$$

Nous limiterons  $\bar{\sigma}_b$  à :  $\bar{\sigma}_b = 22$  bars.

### 1.3. Contrainte de cisaillement admissible :

la contrainte tangente du plan neutre  $\tau_b$  est bornée au droit de chaque section droite en fonction de la contrainte maximale de compression du béton  $\sigma'_b$  coexistante sur cette même section droite par les inégalités suivantes.

$$\sigma'_b \leq \bar{\sigma}'_{b_0} \Rightarrow \tau_b \leq 3,5 \bar{\sigma}_b$$

$$\bar{\sigma}'_{b_0} < \sigma'_b \leq 2 \bar{\sigma}'_{b_0} \Rightarrow \tau_b \leq (4,5 - \frac{\sigma'_b}{\bar{\sigma}'_{b_0}}) \bar{\sigma}_b$$

## 2. Aciers:

on utilise deux types d'aciens

\* Aciens doux Fe 24  $\rightarrow \sigma'_{en} = 2400 \text{ kg/cm}^2$

\* Aciens à haute adhérence FeE 40  $\rightarrow \sigma'_{en} = 4200 \text{ kg/cm}^2$  ;  
 $4200 \text{ kg/cm}^2 (\phi \leq 20) \rightarrow 4120 \text{ bars}$   
 $4000 \text{ kg/cm}^2 (\phi > 20) \rightarrow 3920 \text{ bars}$

### 2.1. Contrainte admissible de traction

En respectant les conditions de non fissurations exposées dans le CCBA 68 art 49.22, la valeur maximale de la contrainte de traction admissible doit vérifier l'inégalité suivante.

$$\bar{\sigma}_a \leq \begin{cases} \sigma_{a_1} = 2/3 \sigma'_{en} \\ \max(\sigma_1, \sigma_2) \end{cases}; \quad \begin{array}{l} \sigma_1: \text{contrainte de fissuration systématique} \\ \sigma_2: \text{contrainte de fissuration accidentelle} \end{array}$$

\* Éléments autres que les parois du réservoir (pas en contact avec l'eau)

$$\sigma_1 = \frac{k \cdot n}{\phi} \cdot \frac{\tilde{w}_f}{1 + 10 \tilde{w}_f} \quad ; \quad \sigma_2 = 2,4 \sqrt{\frac{n \cdot k \cdot \bar{\sigma}_b}{\phi}}$$

$\phi$ : diamètre nominal de la plus grosse barre tendue

$n$ : coefficient de fissurations  $\begin{cases} n=1 \rightarrow \text{pour les ronds lisses} \\ n=1,6 \rightarrow \text{pour H.A.} \end{cases}$

$k$ : coefficient dépendant des conséquences de fissuration :

$k = 0,5 \times 10^6$  (fissuration très préjudiciables)

$\tilde{w}_f$ : % de fissuration défini par :

$$\tilde{w}_f = \frac{A}{B_f}$$

$A$ : section totale des barres tendues

$B_f$ : section de béton tendu ayant même centre de gravité que les armatures tendues.

Valeur de  $\bar{\sigma}_a = 2/3 \cdot \sigma_{en}$

\* Aciers doux  $\rightarrow \bar{\sigma}_a = 1600 \text{ Kg/cm}^2$  (1570 bars)

\* Aciers haute adhérence:

$$\bar{\sigma}_a = \begin{cases} 2670 \text{ Kg/cm}^2 ; \phi > 20 \rightarrow (2610 \text{ bars}) \\ 2800 \text{ Kg/cm}^2 ; \phi \leq 20 \rightarrow (2750 \text{ bars}) \end{cases}$$

les valeurs  $\bar{\sigma}_a$  après comparaisons de  $\bar{\sigma}_a$  et  $\sigma_2$  sont données ci-dessous

$\bar{\sigma}_a$	5	6	8	10	12	14	16	20	25	32
Adx	1600	1600	1530	1368	1249	1156	1081	967	865	765
H.A	2448	2234	1935	1731	1580	1463	1368	1224	1094	967

on ne considère que les valeurs de  $\sigma_2$  ou (en général  $\sigma_2 > \sigma_1$ )

\* Parois du réservoir (éléments en contact permanent avec l'eau):

Dans le cas où l'élément considéré est constamment en contact avec l'humidité, les contraintes  $\sigma_1$  et  $\sigma_2$  seront majorées de 300 N/mm car le gonflement du béton réduit la largeur des fissures et ce en raison de l'absence de retrait.

$$\sigma_1 = \frac{k \cdot n}{\phi} \frac{w_f}{1+10.w_f} + 300 \text{ N/mm} ; \sigma_2 = 2.4 \sqrt{\frac{k \cdot n \bar{\sigma}_a}{\phi}} + 300 \text{ N/mm}$$

D'où.

$\bar{\sigma}_a$	5	6	8	10	12	14	16	20	25	32
Adx	1600	1600	1600	1600	1549	1456	1381	1267	1165	1065
H.A	2800	2714	2415	2215	2068	1943	1848	1704	1574	1447

2.2. contrainte admissible de compression :  $\bar{\sigma}'_a = 2/3 \cdot \sigma_{en}$

Dans le cas des pièces soumises à la compression simple pour lesquelles l'acier utilisé serait tel que:  $\sigma_{en} < 3300 \text{ Kg/cm}^2$

la valeur de  $\bar{\sigma}'_a$  sera réduite à  $\bar{\sigma}'_a = 2/3 \sigma_{en} \cdot \frac{\sigma_{en}}{3340}$

\* Acier HA  $\rightarrow \bar{\sigma}'_a = 2800 \text{ Kg/cm}^2 \rightarrow \phi \leq 20$  (2750 b)

$1 2670 \text{ Kg/cm}^2 \rightarrow \phi > 20$  (2610 b)

\* Acier doux  $\rightarrow \bar{\sigma}'_a = 1150 \text{ Kg/cm}^2$

### 2.3. Contrainte admissible d'adhérence : $\bar{\tau}_d$

Elle est donnée suivant deux zones

$$\rightarrow \text{Zone d'ancre normale : } \bar{\tau}_d = 1.25 \psi_d^2 \bar{\sigma}_b$$

$$\times \text{Zone d'ancre en pleine masse : } \bar{\tau}_d = 2 \psi_d^2 \bar{\sigma}_b$$

$\psi_d = \begin{cases} 1; \text{rond lisse} \\ \frac{1.6}{\sqrt{2}} \eta_r; \text{H.A} \end{cases}$

$\psi_d$  : coefficient de scellement droit

$\eta_r$  : valeur du coefficient de scellement égal à  $\sqrt{2}$

$\bar{\tau}_d$ [kg/cm <sup>2</sup> ]	H.A	Adx
Zone normale	17.58	7.81
Zone en pleine masse	28.12	12.50

### 2.4. Recouvrement des armatures droites et longueur de scellements

La jonction de deux barres parallèles, identiques est assurée par recouvrement lorsque leurs extrémités se chevauchent sur une longueur  $\ell_r$ .

$$\ell_r = \begin{cases} \ell_d & \text{si } d \leq 5\phi \\ \ell_d + d & \text{si } d > 5\phi \end{cases} \quad \text{ou } d = \text{distance entr-axes des barres.}$$

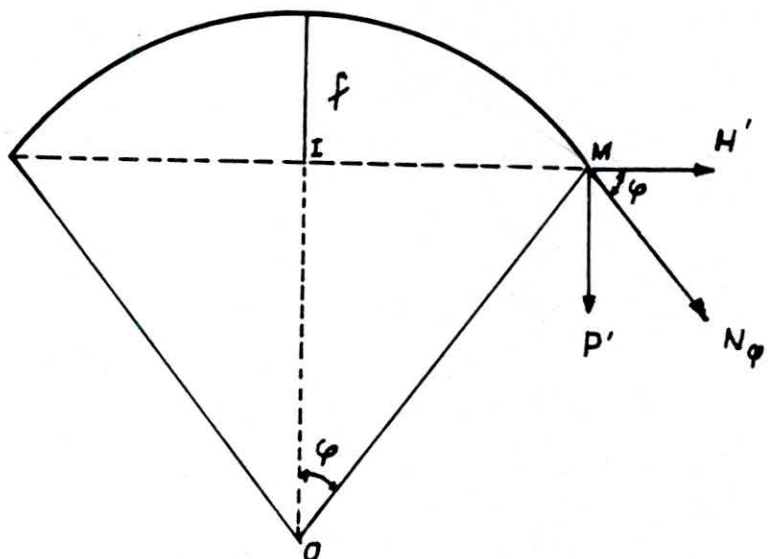
La longueur de scellement droit  $\ell_d$  d'une barre est la longueur minimale de zone rectiligne sur laquelle son ancrage peut-être total lorsqu'elle est isolée

$$\ell_d = \begin{cases} \frac{\phi}{4} \cdot \frac{\bar{\sigma}_a}{\bar{\tau}_d} & \text{en traction} \\ \frac{\phi}{4} \cdot \frac{\bar{\sigma}_a'}{\bar{\tau}_d} & \text{en compression} \end{cases}$$

$\phi$  : étant le diamètre nominal de la barre.

ÉTUDE  
DE LA COUPOLE

## ETUDE DE LA COUPOLE



Soit  $S$  la surface de notre coupole  $S = 2\pi R f$

$R$  étant le rayon de la sphère

\* poids total de la coupole  $P_p = 2\pi R f P$

\* poids par mètre de pourtour

$$P'_p = \frac{P_p}{2\pi r} = \frac{2\pi R f P}{2\pi r} = \frac{P R f}{r}$$

$$\text{or } R = \frac{r^2 + f^2}{2f} \quad \text{car} \quad r^2 = f(2R - f)$$

$$\text{et donc } P'_p = \frac{P f (r^2 + f^2)}{2fr}$$

Les triangles  $OIM$  et  $(H', N_\phi, P'_p)$  sont semblables

$$\text{d'où : } \frac{H'}{R-f} = \frac{P'_p}{r} \Rightarrow H' = \frac{P'_p}{r} (R-f)$$

$$H' = \frac{P f (r^2 + f^2)}{2fr} \cdot \frac{R-f}{r}$$

$$\text{Or } R-f = \frac{r^2+f^2}{2f} - f = \frac{r^2-f^2}{2f}$$

$$\text{et donc } H' = \frac{\rho f(r^2+f^2)(r^2-f^2)}{2fr} = \frac{\rho(r^4-f^4)}{4fr^2}$$

\* pour les surcharges

Si nous considérons une surcharge  $q$  par mètre carré de projection horizontale, nous calculons de même :

$$P_q = \pi r^2 q$$

$$\text{par mètre de contour : } P'_q = \frac{\pi r^2 q}{2\pi r} = \frac{qr}{2}$$

$$H'_q = P'_q \cdot \frac{R-f}{r} = \frac{qr}{2} \frac{r^2-f^2}{2fr} = \frac{q(r^2-f^2)}{4f}$$

$$\text{pratiquement on fait le calcul avec } H'_q = \frac{q(r^4-f^4)}{4fr^2} \text{ qui}$$

est dans le sens de la sécurité car :

$$H'_q = \frac{q(r^4-f^4)}{4fr^2} = \frac{q(r^2-f^2)}{4f} \frac{r^2+f^2}{r^2} = \frac{q(r^2-f^2)}{4f} \left(1 + \frac{f^2}{r^2}\right) > \frac{q(r^2-f^2)}{4f}$$

\* Effort de compression dans les méridiens

$$N_e = \sqrt{H'^2 + P'^2} \quad \text{qui sert à vérifier la contrainte de compression} \quad \delta_b' = \frac{N_e}{b \cdot e} \quad \frac{N_e}{100e}$$

\* Calcul de la ceinture

la ceinture est soumise à un effort de traction  $T$  tel que :

$$T = H'e$$

$$\text{et la section d'acier sera : } A = \frac{T}{\delta_a}$$

$$\text{la contrainte de traction dans la ceinture est : } \delta_b = \frac{T}{B+nA}$$

Application:

a) charges et surcharges

$$e = 8 \text{ cm}$$

$$f = 2,50 \text{ m}$$

$$r = 10,73 \text{ m}$$

$$h = 7 \text{ m}$$

$$d = 11,40 \text{ m}$$

$$R = \frac{r^2 + f^2}{2f} = \frac{10,73^2 + 2,50^2}{2 \cdot 2,5} = 24,27 \text{ m}$$

$$S = 2\pi R f = 2\pi \cdot 24,27 \cdot 2,5 = 381,3 \text{ m}^2$$

\* charges

- poids propre :  $P_p = 2500 \cdot 0,08 = 200 \text{ daN/m}^2$

- étanchéité, isolation :  $P_e = 40 \text{ daN/m}^2$

$$P = 240 \text{ daN/m}^2$$

\* surcharges

- surcharge d'exploitation =  $100 \text{ kg/m}^2 \Rightarrow q = 100 \text{ daN/m}^2$

$$\Rightarrow P + 1,2q = 360 \text{ daN/m}^2$$

2) Calcul des efforts

\* calcul des charges et surcharges par metre de pourtour

- charges :  $P'_p = \frac{P \cdot S}{2\pi r} = \frac{240 \cdot 381,3}{2\pi \cdot 10,73} = 1357,5 \text{ daN/m}$

- Surcharges :  $P'_q = \frac{q \cdot r}{2} = \frac{120 \cdot 10,73}{2} = 643,8 \text{ daN/m}$

$$\Rightarrow P' = P'_p + P'_q = 2001 \text{ daN/m}$$

\* poussée horizontale

$$H' = \frac{(P + 1,2q)(r^2 - f^2)}{4\pi r^2} = \frac{360 (10,73^2 - 2,5^2)}{4 \cdot 2,5 \cdot 10,73^2} = 4132,6 \text{ daN/m}$$

$$H' = 4133 \text{ daN/m}$$

\* effort de compression dans les méridiens

$$N_e = \sqrt{H'^2 + P'^2} = \sqrt{2001^2 + 4133^2} = 4591,5 \text{ daN/m}$$

### 3) Calcul des contraintes

\* contrainte de compression

$$\sigma_b' = \frac{N_e}{100 \cdot e} = \frac{4591,5}{100} = 5,74 \text{ kg/cm}^2 < \bar{\sigma}_b'$$

\* Contrainte de cisaillement

$$\tau_b = \frac{P'}{100 \cdot e} = \frac{2001}{100 \cdot 8} = 2,5 \text{ kg/cm}^2 < \bar{\tau}_b$$

### 4) Calcul des armatures

Comme les contraintes de compression et de cisaillement sont inférieures aux contraintes admissibles, le béton suffit à lui seul mais on mettra quand même des armatures destinées à résister aux effets de retrait et aux efforts dissymétriques

• suivant les méridiens:  $A_1 = 0,3 \cdot e = 0,3 \cdot 8 = 2,4 \text{ cm}^2$

$$A_1 = 5HA8 / \text{m.l.} = 2,51 \text{ cm}^2 / \text{m.l.}$$

• suivant les parallèles:  $A_2 = \frac{A_1}{3} = \frac{2,4}{3} = 0,8 \text{ cm}^2$

$$A_2 = 4HA6 / \text{m.l.} = 1,13 \text{ cm}^2 / \text{m.l.}$$

### 5) Vérification de la coupole au poinçonnement

On vérifiera la coupole au poinçonnement causée par une charge de 150 kg répartie sur une surface de  $40 \cdot 40 \text{ cm}^2$

$$1,5 \frac{P}{P_c \cdot h_t} \leq 1,2 \bar{\sigma}_b$$

$h_t$ : épaisseur de la coupole

$P$ : charge de 150 kg

$P_c$ : périmètre dans le plan moyen de la coupole en tenant compte de la diffusion

$$P_c = 40 \left( 40 + \frac{2h_t}{2} \right) = 40 (40 + 8) = 192 \text{ cm}$$

$$\Rightarrow \frac{1,5 \cdot 150}{192 \cdot 8} = 0,15 \text{ kg/cm}^2 < 1,2 \bar{\sigma}_b$$

### 6) Calcul de la ceinture

$$T = H' n = 4133 \cdot 10,73 = 44347,1 \text{ daN}$$

La section d'acier sera de : (en choisissant des H.A.20  $\rightarrow \bar{\sigma}_a = 1224 \text{ kg/cm}^2$ )

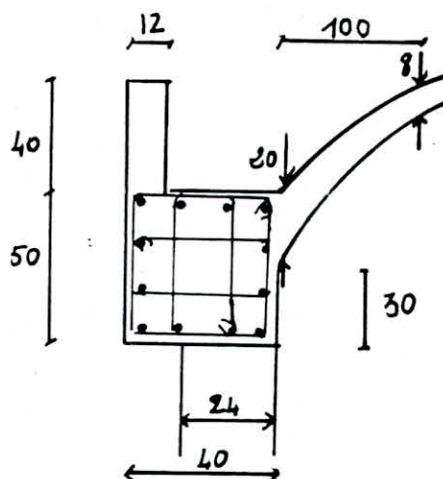
$$A = \frac{T}{\bar{\sigma}_a} = \frac{44347,1}{1224} = 36,23 \text{ cm}^2 \Rightarrow A = 12 \text{ HA}20 = 37,7 \text{ cm}^2$$

La section de béton nécessaire en limitant la contrainte de traction du béton à 18 b.

$$B = \frac{T - nA}{\bar{\sigma}_{bh}} = \frac{44347,1 - 15 \cdot 37,7}{18} = 2432 \text{ cm}^2$$

Or la section de notre ceinture est :

$$50 \cdot 40 + 40 \cdot 12 = 2480 \text{ cm}^2$$



### 7) Vérification de la ceinture

\* condition de fragilité

$$\omega_f = \frac{A}{B} > \frac{3 \bar{\sigma}_b}{\bar{\sigma}_{en}} \Rightarrow \bar{A} \geq \frac{3 \bar{\sigma}_b}{\bar{\sigma}_{en}} \cdot B = \frac{3 \cdot 6,25}{4200} \cdot 2480 = 11,07 \text{ cm}^2$$

$$A = 37,7 \text{ cm}^2 > \bar{A} = 11,07 \text{ cm}^2$$

\* Condition de fissuration

$$\bar{\sigma}_f = K \frac{\omega_f}{1 + 10\omega_f}$$

$$\omega_f = \frac{37,7}{2000} = 0,019$$

$$\tilde{\sigma}_1 = 0,5 \cdot 10^6 \cdot \frac{1,6}{20} \cdot \frac{0,019}{1+0,19} = 639 \text{ kg/cm}^2$$

$$\tilde{\sigma}_1 = 639 \text{ kg/cm}^2 < \tilde{\sigma}_2 \Rightarrow \text{Vérifie}$$

car  $\bar{\sigma}_a = \min \begin{cases} \frac{2}{3} \tilde{\sigma}_{en} \\ \max(\tilde{\sigma}_1, \tilde{\sigma}_2) \end{cases}$

$$\bar{\sigma}_a = \frac{T}{A} = \frac{44347,1}{37,7} = 1176,3 \text{ kg/cm}^2$$

$$\bar{\sigma}_a = 1176,3 \text{ kg/cm}^2 < \bar{\sigma}_a = 1224 \text{ kg/cm}^2$$

## \* Ouverture de la coupole

nous avons deux sortes d'ouvertures

- l'une de 1m de diamètre au centre pour l'aération
- l'autre de 0,5m de diamètre pour le nettoyage

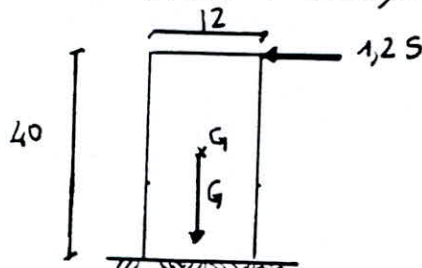
Ces ouvertures sont soumises à la compression et comme le béton passe bien à la compression nous adopterons un ferrailage de principe qui consistera à relever le ferrailage méridien de la coupole

## \* Armature transversale de la ceinture

On prendra 3 cadres  $\phi 8$  tous les 30 cm comme sur le schéma précédent.

### ETUDE DE L'ACROTERE

l'acrotère est supposée encastrée à la base, elle sera calculée en flexion composée.



$$N = G = (0,12 \cdot 0,4 \cdot 1) 2,5 \cdot 10^3 = 120 \text{ kg/m}$$

$$M = 1,25 \cdot 0,4 = 1,2 \cdot 100 \cdot 0,4 = 48 \text{ kg.m/m.l}$$

$$\left. \begin{array}{l} e_0 = \frac{M}{N} = \frac{48}{120} = 40 \text{ cm} \\ e_1 = \frac{h_c}{6} = \frac{12}{6} = 2 \text{ cm} \end{array} \right\} \Rightarrow e_0 > e_1 \Rightarrow \text{c'est une section partiellement comprimée}$$

$$\left. \begin{array}{l} \bar{\sigma}_b' = 150 \text{ kg/cm}^2 \\ \bar{\sigma}_a = 1731 \text{ kg/cm}^2 \end{array} \right\} \Rightarrow \alpha = 0,565 \quad \gamma = 0,812$$

$$M_{fictif} = N \cdot f = 120 \cdot 0,43 = 51,6 \text{ kg.m/m.l}$$

$$M_{rb} = \frac{1}{2} \cdot 0,565 \cdot 0,812 \cdot 150 \cdot 100 \cdot g^2 = 2787 \text{ kg.m/m.l}$$

$M_{rb} > M_f$   $\Rightarrow$  les aciers comprimés ne sont pas nécessaires

$$u = \frac{15 \cdot M}{\bar{\sigma}_a \cdot b \cdot h^2} = \frac{15 \cdot 5160}{1731 \cdot 100 \cdot g^2} = 0,0055 \Rightarrow \left\{ \begin{array}{l} E = 0,9662 \\ K = 133 \end{array} \right.$$

$$A_f = \frac{M}{\bar{\sigma}_a \cdot E \cdot h} = \frac{5160}{1731 \cdot 0,9662 \cdot g} = 0,34 \text{ cm}^2 \Rightarrow A_c = 0,27 \text{ cm}^2$$

Comme  $A$  est faible on prendra la section donnée par la condition de non fragilité.

$$A \geq 0,69 \frac{\bar{\sigma}_b}{\bar{\sigma}_{en}} \cdot b \cdot h = 0,69 \cdot \frac{6,25}{4200} 100 \cdot 7 = 0,72 \text{ cm}^2$$

On prendra 4 H.A. 8 / m.l.  $\Rightarrow A = 2,52 \text{ cm}^2$

### Vérification

$$\times \delta_b' = \frac{\bar{\delta}_a}{\kappa} = \frac{1731}{133} = 13 \text{ kg/cm}^2 < \bar{\delta}_b'$$

\* l'effort tranchant :  $T = 1,2 S = 120 \text{ kg/m.l}$

$$A \bar{\delta}_a = 2,51 \cdot 1731 = 4345 \text{ kg}$$
$$T + \frac{M}{3} = 120 + \frac{4800}{\frac{7}{8} \cdot \frac{7}{8}} = 903,7 \text{ kg/cm}^2 \quad \left. \begin{array}{l} \\ \end{array} \right\} \Rightarrow A \bar{\delta}_a > T + \frac{M}{3}$$

### \* Seisme local

l'effort sismique horizontal  $F_p$  est donné par

$$F_p = Z_I \cdot C_p \cdot W_p$$

avec  $Z_I = 1,19$  (zone II, groupe d'usage 1)  
 $C_p = 0,8$  (élément de console)  
 $W_p = 75 \text{ kg/m.l.}$

$$F_p = 1,19 \cdot 0,8 \cdot 75 = 71,5 \text{ kg/m.l.} < 1,2 S = 120 \text{ kg/m.l.}$$

• l'acrotère a été dimensionnée avec un effort supérieure à la force sismique, et donc elle est vérifiée au seisme local

• On laissera 4 H.A.8/m.l. en attente à partir de la poutre afin d'assurer l'encastrement de l'acrotère.

ETUDE  
DES PAROIS

## ETUDE DE LA PAROI

la paroi sera étudiée sous deux cas :

Cas 1: le réservoir est plein et donc soumis à la poussée de l'eau. Pour une question de sécurité on négligera dans ce cas la poussée des terres.

Cas 2: le réservoir est vide et soumis à l'action des terres seulement. On supposera que le réservoir est complètement enterré (jusqu'à la base de la ceinture.).

Cas 1 : Réservoir plein :

A partir de la théorie de la membrane, TIMOSHENKO est arrivé à étudier dans son ouvrage intitulé "Coques et plaques". L'équilibre d'une coque soumise à des pressions extérieures et ce à partir des déplacements des éléments de coque.

Il est arrivé à donner les relations entre le déplacement et les éléments de réduction qui sont :

$$N_e = \frac{D(1-\nu^2)}{a} w$$

$$J = \frac{E \cdot t}{1-\nu^2} \text{ résistance à la dilatation}$$

$$M_x = K w''$$

$$\text{avec } K = \frac{E \cdot t^3}{12(1-\nu^2)} \text{ résistance à la flexion}$$

$$T_x = K w'''$$

où :  $t$ : épaisseur de la paroi

$a$ : rayon interne du réservoir

$\nu$ : coefficient de poisson

$w$ : déplacement radial de l'élément de paroi

$M_x$ : moment fléchissant sur l'élément de paroi

$N_e$ : poussée radial sur l'élément de paroi

$T_x$ : effort tranchant sur l'élément de paroi

Dans ce cas de la poussée d'eau,  $w$  sera la solution de l'équation différentielle suivante:

$$Kw^{VII} + Da^2(1-\nu^2) \cdot w = \gamma \cdot a^4(h-a)$$

où  $\gamma$  = masse volumique de l'eau

la solution particulière de cette équation est:

$$W = \frac{\gamma \cdot a^2}{D \cdot (1-u^2)} (h-x)$$

la solution de l'équation homogène est de la forme:

$$W = e^{-\frac{\alpha}{a}x} (C_1 \cos \frac{\alpha}{a}x + i C_2 \sin \frac{\alpha}{a}x) + e^{-\frac{\alpha}{a}x'} (C_3 \cos \frac{\alpha}{a}x' + i C_4 \sin \frac{\alpha}{a}x')$$

$$\text{Où } \alpha = \sqrt[4]{\frac{3a^2(1-u^2)}{t^2}} \quad \text{et } x' = h-x$$

Vu que  $\alpha$  est un terme de grande valeur alors les fonctions  $e^{\alpha x}$  et  $e^{\alpha x'}$  croissent très vite, en faisant varier  $x$  ou  $x'$  à partir de zéro

Donc à l'inverse, les fonctions  $e^{-\alpha x}$  et  $e^{-\alpha x'}$  auront rapidement des valeurs très faibles si on s'éloigne de  $x=0$  où  $x'=0$ .

et donc au bord inférieur on aura comme solution de l'équation homogène

$$W = e^{-\frac{\alpha}{a}x} (C_1 \cos \frac{\alpha}{a}x + i C_2 \sin \frac{\alpha}{a}x)$$

la solution générale de l'équation non homogène sera:

$$W = e^{-\frac{\alpha}{a}x} (C_1 \cos \frac{\alpha}{a}x + i C_2 \sin \frac{\alpha}{a}x) + \frac{\gamma a^2}{D(1-u^2)} (h-x)$$

$$* \frac{\partial W}{\partial x} = -\frac{\alpha}{a} e^{-\frac{\alpha}{a}x} (C_1 \cos \frac{\alpha}{a}x + i C_2 \sin \frac{\alpha}{a}x) + e^{-\frac{\alpha}{a}x} \left( -\frac{\alpha}{a} C_1 \sin \frac{\alpha}{a}x + i \frac{\alpha}{a} C_2 \cos \frac{\alpha}{a}x \right) \\ - \frac{\gamma a^2}{D(1-u^2)}$$

$$\frac{\partial W}{\partial x} = -\frac{\alpha}{a} e^{-\frac{\alpha}{a}x} \left( C_1 \cos \frac{\alpha}{a}x + i C_2 \sin \frac{\alpha}{a}x + C_3 \sin \frac{\alpha}{a}x - i C_4 \cos \frac{\alpha}{a}x \right) - \frac{\gamma a^2}{D(1-u^2)}$$

$$* \frac{\partial^2 W}{\partial x^2} = \frac{\alpha^2}{a^2} e^{-\frac{\alpha}{a}x} \left[ C_1 \cos \frac{\alpha}{a}x + i C_2 \sin \frac{\alpha}{a}x + C_3 \sin \frac{\alpha}{a}x - i C_4 \cos \frac{\alpha}{a}x \right. \\ \left. + C_1 \sin \frac{\alpha}{a}x - i C_2 \cos \frac{\alpha}{a}x - C_3 \cos \frac{\alpha}{a}x - i C_4 \sin \frac{\alpha}{a}x \right]$$

$$\frac{\partial^2 W}{\partial x^2} = 2 \frac{\alpha^2}{a^2} e^{-\frac{\alpha}{a}x} \left( C_3 \sin \frac{\alpha}{a}x - i C_4 \cos \frac{\alpha}{a}x \right)$$

$$* \frac{\partial^3 W}{\partial x^3} = -2 \frac{\alpha^3}{a^3} e^{-\frac{\alpha}{a}x} \left( C_1 \sin \frac{\alpha}{a}x - i C_2 \cos \frac{\alpha}{a}x - C_3 \cos \frac{\alpha}{a}x - i C_4 \sin \frac{\alpha}{a}x \right)$$

$$\frac{\partial^3 W}{\partial x^3} = -2 \frac{\alpha^3}{a^3} e^{-\frac{\alpha}{a}x} \left[ C_1 \left( \sin \frac{\alpha}{a}x - \cos \frac{\alpha}{a}x \right) - i C_2 \left( \sin \frac{\alpha}{a}x + \cos \frac{\alpha}{a}x \right) \right]$$

• Détermination des constantes d'intégration  $C_1$  et  $C_2$ :  
la base du réservoir est supposée encastrée sur le radier  
et donc :

$$\begin{cases} W(x=0) = 0 \\ \left( \frac{\partial W}{\partial x} \right)_{x=0} = 0 \end{cases}$$

$$* W_{x=0} = 0 \Rightarrow C_1 + \frac{\gamma a^2 h}{D(1-u^2)} = 0 \Rightarrow C_1 = -\frac{\gamma a^2 h}{D(1-u^2)}$$

$$* \left( \frac{\partial W}{\partial x} \right)_{x=0} = -\frac{\alpha}{a} (C_1 - i C_2) - \frac{\gamma a^2}{D(1-u^2)} = 0$$

$$\Rightarrow (C_1 - i C_2) = -\frac{\gamma a^3}{\alpha D(1-u^2)}$$

$$\Rightarrow C_1 + \frac{\gamma a^3}{\alpha D(1-u^2)} = i C_2 \Rightarrow C_2 = \frac{1}{i} \left( \frac{\gamma a^2 h}{D(1-u^2)} + \frac{\gamma a^3}{\alpha D(1-u^2)} \right)$$

$$C_2 = \frac{1}{i} \frac{\gamma \alpha^2}{D(1-u^2)} \left[ -h + \frac{a}{\alpha} \right]$$

Ce qui nous donne

$$\frac{\partial^2 W}{\partial x^2} = 2 \frac{\alpha^2}{a^2} e^{-\frac{\alpha}{a}x} \left[ -\frac{\gamma \alpha^2 h}{D(1-u^2)} \sin \frac{\alpha}{a}x - \frac{\gamma \alpha^2}{D(1-u^2)} \left( -h + \frac{a}{\alpha} \right) \cos \frac{\alpha}{a}x \right]$$

$$* M_x = K \cdot W'' = \frac{2K \alpha^2 e^{-\frac{\alpha}{a}x}}{D(1-u^2)} \left( -\gamma \sin \frac{\alpha}{a}x - \gamma \left( -h + \frac{a}{\alpha} \right) \cos \frac{\alpha}{a}x \right)$$

$$\text{Or } \frac{K}{D} = \frac{E \cdot t^3}{12(1-u^2)} \cdot \frac{(1-u^2)}{E \cdot t} = \frac{t^2}{12}$$

d'où

$$M_x = \frac{t^2 \alpha^2 \gamma e^{-\frac{\alpha}{a}x}}{6(1-u^2)} \left[ -h \sin \frac{\alpha}{a}x + \left( h - \frac{a}{\alpha} \right) \cos \frac{\alpha}{a}x \right]$$

$$* N_e = \frac{D(1-u^2)}{a} W = \frac{D(1-u^2)}{a} \left[ e^{-\frac{\alpha}{a}x} (C_1 \cos \frac{\alpha}{a}x + i C_2 \sin \frac{\alpha}{a}x) + \frac{\gamma \alpha^2 (h-x)}{D(1-u^2)} \right]$$

$$N_e = \frac{D(1-u^2)}{a} \left[ e^{-\frac{\alpha}{a}x} \left( -\frac{\gamma \alpha^2 h}{D(1-u^2)} \cos \frac{\alpha}{a}x + \frac{\gamma \alpha^2}{D(1-u^2)} \left( h + \frac{a}{\alpha} \right) \sin \frac{\alpha}{a}x \right) + \frac{\gamma \alpha^2 (h-x)}{D(1-u^2)} \right]$$

$$N_e = e^{-\frac{\alpha}{a}x} \left[ -\gamma a \cdot h \cos \frac{\alpha}{a}x + \gamma a \left( -h + \frac{a}{\alpha} \right) \sin \frac{\alpha}{a}x \right] + \gamma a \cdot (h-x)$$

$$* T = K \cdot W''' = \frac{\partial M_x}{\partial x} = \frac{t^2 \alpha^2 \gamma}{6(1-u^2)} \left( -\frac{\alpha}{a} \right) e^{-\frac{\alpha}{a}x} \left[ -h \sin \frac{\alpha}{a}x + \left( h - \frac{a}{\alpha} \right) \cos \frac{\alpha}{a}x \right. \\ \left. + h \cos \frac{\alpha}{a}x + \left( h - \frac{a}{\alpha} \right) \sin \frac{\alpha}{a}x \right]$$

$$T = \frac{-t^2 \alpha^3 \gamma}{6 \cdot a (1-u^2)} e^{-\frac{\alpha}{a}x} \left[ h \left( \cos \frac{\alpha}{a}x - \sin \frac{\alpha}{a}x \right) + \left( h - \frac{a}{\alpha} \right) \left( \cos \frac{\alpha}{a}x + \sin \frac{\alpha}{a}x \right) \right]$$

### Récapitulation

$$M_x = \frac{t^2 \alpha^2 \gamma}{6(1-u^2)} e^{-\frac{\alpha}{a}x} \left[ -h \sin \frac{\alpha}{a} x + \left( h - \frac{a}{\alpha} \right) \cos \frac{\alpha}{a} x \right]$$

$$N_a = e^{-\frac{\alpha}{a}x} \left[ -\gamma \cdot a \cdot h \cos \frac{\alpha}{a} x + \gamma a \left( \frac{a}{\alpha} - h \right) \sin \frac{\alpha}{a} x \right] + \gamma a (h-x)$$

$$T = \frac{-t^2 \alpha^3 \gamma}{6a(1-u^2)} e^{-\frac{\alpha}{a}x} \left[ +h \left( \cos \frac{\alpha}{a} x - \sin \frac{\alpha}{a} x \right) + \left( h - \frac{a}{\alpha} \right) \left( \cos \frac{\alpha}{a} x + \sin \frac{\alpha}{a} x \right) \right]$$

### Remarque

Le cahier des charges pour le calcul des réservoirs fixe le poids volumique de l'eau à 1200 kg/m<sup>3</sup> au lieu de 1000 kg/m<sup>3</sup>.

EFFORTS côtes	$M_x$ (k.m/m.c)	$N_e$ k/m.c	$T$ k/m.c
0,00	+ 5,20	0	- 9,40
1,00	- 0,46	26,20	- 2,52
2,00	- 1,30	51,05	+ 0,30
3,00	- 0,69	53,32	+ 0,67
4,00	- 0,16	42,19	+ 0,35
5,00	+ 0,03	27,47	+ 0,08
6,00	+ 0,05	13,26	+ 0,02
7,00	0	0	0

$$M_x = 899,69 e^{-0,817x} \left[ -7 \sin 0,817x + 5,776 \cos 0,817x \right]$$

$$N_e = e^{-0,817x} \left[ -89880 \cos 0,817x - 5,776 \sin 0,817x \right] + 12840(7-x)$$

$$T = -734,6 e^{-0,817x} \left[ 12,776 \cos 0,817x - 1,224 \sin 0,817x \right]$$

ferraillage horizontale des viroles

viroles	$T_i = \frac{F_i + F_{i+1}}{2}$ (B)	$A_i = \frac{T_i}{F_a} \text{ cm}^2$	$A \text{ (choisie)} \text{ cm}^2$	ESPACEMENT cm	$\sigma_{bh} = \frac{T}{1000 + 15A} \text{ Kg/cm}^2$
$0 \leq h \leq 1$	$\frac{0+26,2}{2} = 13,1$	$\frac{13100}{2060} = 6,35$	$10 \text{ HA } 12 = 11,31$	20	$\frac{13100}{1000 + 15 \cdot 11,31} = 5,10 \text{ Kg/cm}^2 < 22,6$
$1 \leq h \leq 2$	$\frac{26,2 + 51,05}{2} = 38,6$	$\frac{38600}{1848} = 20,88$	$12 \text{ HA } 16 = 24,12$	16	$\frac{38600}{2400 + 15 \cdot 24,12} = 13,97 \text{ Kg/cm}^2 < 22,6$
$2 \leq h \leq 3$	$\frac{51,05 + 53,32}{2} = 52,2$	$\frac{52200}{1848} = 28,04$	$14 \text{ HA } 16 = 28,15$	14	$\frac{52200}{2400 + 15 \cdot 28,15} = 18,50 \text{ Kg/cm}^2 < 22,6$
$3 \leq h \leq 4$	$\frac{53,32 + 42,79}{2} = 47,8$	$\frac{47800}{1848} = 25,86$	$14 \text{ HA } 16 = 28,15$	14	$\frac{47800}{2400 + 15 \cdot 28,15} = 17,7 \text{ Kg/cm}^2 < 22,6$
$4 \leq h \leq 5$	$\frac{42,79 + 27,47}{2} = 34,8$	$\frac{34800}{1848} = 18,83$	$10 \text{ HA } 16 = 20,1$	20	$\frac{34800}{2400 + 15 \cdot 20,1} = 12,9 \text{ Kg/cm}^2 < 22,6$
$5 \leq h \leq 6$	$\frac{27,47 + 13,26}{2} = 20,4$	$\frac{20400}{1943} = 10,50$	$10 \text{ HA } 12 = 11,32$	20	$\frac{20400}{2400 + 15 \cdot 11,32} = 7,94 \text{ Kg/cm}^2 < 22,6$
$6 \leq h \leq 7$	$\frac{13,26 + 0}{2} = 6,63$	$\frac{6630}{2211} = 3,00$	$10 \text{ HA } 10 = 7,85$	20	$\frac{6630}{2400 + 15 \cdot 7,85} = 2,63 \text{ Kg/cm}^2 < 22,6$

### Cas "2" Réservoir vide

Dans le cas du réservoir vide, la paroi n'est soumise qu'à la poussée des terres.

On supposera que le réservoir est totalement enterré (jusqu'à la base de la ceinture)

Les terres sont constituées d'un remblai argilo-gravillier dont les caractéristiques sont en général :

$$\Delta : \text{poids spécifique} = 1700 \text{ à } 2000 \text{ dan/m}^3$$

$$C : \text{cohesion} = 0,1 \text{ à } 0,8 \text{ kdan/m}^2$$

$$\varphi : \text{angle de frottement} \approx 25^\circ \text{ à } 40^\circ$$

Comme le rapport de sol ne donne pas les caractéristiques exactes du sol on prendra des valeurs sécurisantes

$$\Delta = 2000 \text{ dan/m}^3$$

$$C = 0$$

$$\varphi = 30^\circ$$

Le calcul des éléments de réduction se fera de la même manière que pour le 1<sup>er</sup> cas : "poussée de l'eau" mais avec :

$$\gamma_t = (K_a \cdot \Delta)$$

$K_a$  : coefficient de poussée horizontal

D'après RESAL ;  $K_a = f(\varphi, \alpha) = f(30^\circ, 0^\circ) = 0,270$

$\alpha$  : étant inclinaison de la paroi =  $0^\circ$

$$\Rightarrow \gamma_t = K_a \cdot \Delta = 0,27 \cdot 2000 = 540 \text{ kN/m}^3$$

$$t = 0,24$$

$$a = 11 \text{ m}$$

$$h = 8 \text{ m}$$

$$\left. \begin{array}{l} \\ \\ \end{array} \right\} \alpha = \sqrt[4]{\frac{3a^2(1-u^2)}{t^2}} = 8,859$$

En remplaçant ces valeurs dans les formules du cas 1° on obtient

$$M_x = -499,46 e^{-0,805x} \left[ -8 \sin 0,805x + 6,758 \cos 0,805x \right]$$

$$N_e = -e^{-0,805x} \left[ -57024 \cos 0,805x - 48173,35 \sin 0,805x \right] + 7128(8-x)$$

Côtes Efforts	$M_x$ t.m/m.e	$N_e$ t/m
0,00	- 3,37	0
1,00	+ 0,24	- 16,70
2,00	+ 0,82	- 33,59
3,00	+ 0,46	- 36,59
4,00	+ 0,12	- 30,93
5,00	- 0,016	- 22,69
6,00	- 0,0031	- 14,59
7,00	+ 0,016	- 7,07
8,00	0	0

Vérification des contraintes de compression dans les viroles

Viroles	$F_i' = \frac{N_{ik} + N_{ki+1}}{2}$ (t)	$\tilde{f}_{b,i}' = \frac{F_i'}{100} \cdot \frac{kg}{cm^2}$
1	$\frac{0 + 16,7}{2} = 8,35$	$\frac{8350}{2400} = 3,48$
2	$\frac{16,7 + 33,59}{2} = 25,15$	$\frac{25150}{2400} = 10,48$
3	$\frac{33,59 + 36,59}{2} = 35,09$	$\frac{35090}{2400} = 14,62$
4	$\frac{36,59 + 30,93}{2} = 33,76$	$\frac{33760}{2400} = 14,06$
5	$\frac{30,93 + 22,69}{2} = 26,81$	$\frac{26810}{2400} = 11,17$
6	$\frac{22,69 + 14,59}{2} = 18,64$	$\frac{18640}{2400} = 7,77$
7	$\frac{14,59 + 7,04}{2} = 10,83$	$\frac{10830}{2400} = 4,51$
8	$\frac{7,07 + 0}{2} = 3,54$	$\frac{3540}{2400} = 1,48$

Comme les contraintes de compression dans le béton sont inférieures à la contrainte admissible, le béton suffit à lui seul et donc le ferrailage des viroles se fera avec la poussée de l'eau.

## \* FERRAILLAGE VERTICAL

Moments maximaux

Moments	Poussée de l'eau	Poussée des terres
Max. Positif	+ 5,20 t.m	+ 0,82 t.m
Max Negatif	- 1,30 t.m	- 3,37 t.m

\* Ferroillage longitudinal de la paroi

\* Moment maximal positif

$$M = 5,2 \text{ t.m}$$

$$N' = 8,42 \text{ t}$$

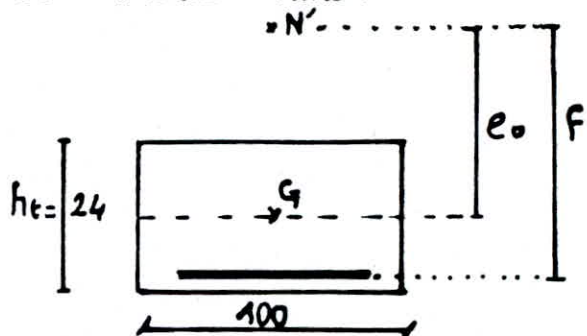
la section sera considérée comme si elle ne présente pas de courbure  
elle est soumise à la flexion composée.

On appliquera la méthode de "PIERRE CHARON"

$N' = \dots \dots \dots$

$$e_0 = \frac{M}{N'} = \frac{5,2 \cdot 10^5}{8,42 \cdot 10^3} = 61,8 \text{ cm}$$

$$e_1 = \frac{h_b}{6} = \frac{24}{6} = 4 \text{ cm}$$



$\Rightarrow e_0 > e_1 \Rightarrow$  c'est une section partiellement comprimée.

$$f = e_0 + \frac{h_b}{2} - d = 61,8 + \frac{24}{2} - 4 = 69,8 \text{ cm}$$

On calculera la section comme si elle était soumise à la flexion simple avec un moment fictif  $M$

$$M = N' f = 8,42 \cdot 0,698 = 5,67 \text{ t.m}$$

• comme  $e_0 > \frac{h_b}{2} \Rightarrow \bar{\sigma}'_b = 2 \bar{\sigma}'_{b_0} = 150 \text{ kg/cm}^2$

• On utilisera des HA.20  $\Rightarrow \bar{\sigma}_a = 1704 \text{ kg/cm}^2$

$$\Rightarrow \begin{cases} \alpha = 0,57 \\ \gamma = 0,81 \end{cases}$$

le moment résistant de béton étant

$$M_{rb} = \frac{1}{2} \cdot \alpha \cdot \gamma \cdot \bar{\sigma}'_b \cdot b \cdot h^2 = \frac{1}{2} \cdot 0,57 \cdot 0,81 \cdot 150 \cdot 100 \cdot 20^2 = 13,48 \text{ t.m}$$

$$M_{rb} > M \Rightarrow A'_s = 0 \Rightarrow A'_c = 0$$

$$A_s = \frac{M}{\gamma h \bar{b}_a} = \frac{5,67 \cdot 10^5}{0,81 \cdot 20 \cdot 1704} = 20,54 \text{ cm}^2$$

$$\Rightarrow A_c = A_s - \frac{N}{\bar{b}_a} = 20,54 - \frac{8420}{1704} = 15,60 \text{ cm}^2$$

$$\Rightarrow \begin{cases} A'_c = 0 \\ A_c = 5 \text{ H.A. } 20 = 15,71 \text{ cm}^2 \end{cases}$$

### Vérification des contraintes

Elle sera réalisée avec la méthode usuelle appliquée dans le béton

$$\text{On pose } y = x - c$$

$$\Rightarrow x = y + c$$

L'équation du moment statique nous donne

$$y^3 + \left\{ -3c^2 - \frac{6x}{b} [A'(c-d') - A(h-c)] \right\} \cdot y + \left\{ -2c^3 - \frac{6x}{b} [A'(c-d')^2 + A(h-c)^2] \right\} = 0$$

qui est de la forme :

$$y^3 + Py + Q = 0 \quad \text{avec}$$

$$P = \left\{ -3c^2 - \frac{6x}{b} [A'(c-d') - A(h-c)] \right\}$$

$$Q = \left\{ -2c^3 - \frac{6x}{b} [A'(c-d')^2 + A(h-c)^2] \right\}$$

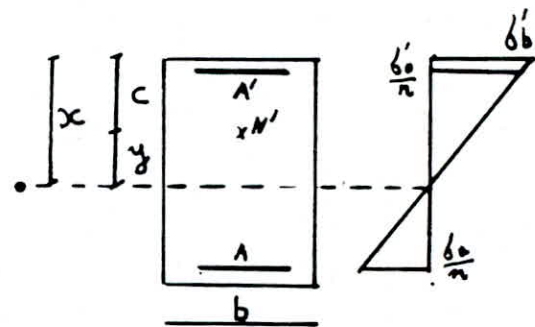
dont la solution est :

$$y = \left\{ -\frac{Q}{2} + \left[ \left( \frac{Q}{2} \right)^2 + \left( \frac{P}{3} \right)^3 \right]^{\frac{1}{2}} \right\}^{\frac{1}{3}} + \left\{ -\frac{Q}{2} - \left[ \left( \frac{Q}{2} \right)^2 + \left( \frac{P}{3} \right)^3 \right]^{\frac{1}{2}} \right\}^{\frac{1}{3}}$$

Le moment d'inertie sera :

$$I = \frac{bx^3}{3} + nA'(x-d')^2 + nA(h-x)^2$$

On pose  $K = \frac{N \cdot y}{I}$  et on vérifiera



$$\tilde{b}'_b = K \cdot x \leq \bar{b}'_b$$

$$\tilde{b}'_a = nK(h-x) \leq \bar{b}'_a.$$

N.B: Tous les résultats des calculs seront dressés  
sur le tableau suivant.

$h$ (cm)	$M$ (t.m)	$N'$ (t)	$c_o$ (cm)	$f$ (cm)	$M_b$ (t.m)	$M_{rb}$ (t.m)	$A$ ( $\text{cm}^2$ )	$A'$ ( $\text{cm}^2$ )
0,0	+ 5,2	8,42	62	70	5,67	13,48	15,60 $5HA20 =$ 15,71	0
0,0	- 3,37	8,42	40	48	4,04	13,46	8,82 $5HA16 =$ 10,05	0
2,0	+ 0,82	6,82	12	20	1,36	12,14	0,53 $5HA8 =$ 2,51	0
2,0	- 1,30	6,82	19	27	1,85	12,14	1,74 $5HA8 =$ 2,51	0

$h$ (cm)	$y$ (cm)	$x$ (cm)	$I$ ( $\text{cm}^4$ )	$K$	$F_b'$ ( $\text{kg/cm}^2$ )	$F_a'$ ( $\text{kg/cm}^2$ )
0,0	58,2	8,2	51190,84	9,57	78,5	1694 < 1704
0,0	35,0	7,0	36910,08	7,98	55,9	1556,8 < 1848
0,0	8,15	8,15	23331,69	2,38	19,42	423,0 < 2415
0,0	12,75	5,75	13982,3	6,21	35,76	1327,4 < 2415

Le RPA (art. 4.3.3.3) donne comme pourcentage minimum des armatures verticales sur toutes la zone tendue : 0,5 %. On prendra donc : 5 HA 12 / m<sub>l</sub> au lieu de 5 HA 8 / m<sub>l</sub>.

Vérification de l'effort tranchant

$$T_{max} = 9,40 t$$

$$\bar{\tau}_b = \frac{T}{b \cdot \delta} = \frac{9400}{100 \cdot \frac{7}{8} \cdot 20} = 5,37 \text{ Kg/cm}^2$$

$$\tau_b = 5,37 \text{ Kg/cm}^2 < 2,5 \bar{\delta}_b = 2,5 \cdot 6,25 = 15,62 \text{ Kg/cm}^2$$

et donc  $\tau_b < \bar{\tau}_b$

L'effort tranchant sera repris par les armatures horizontales en arcs et par les armatures en épingles de maintien.

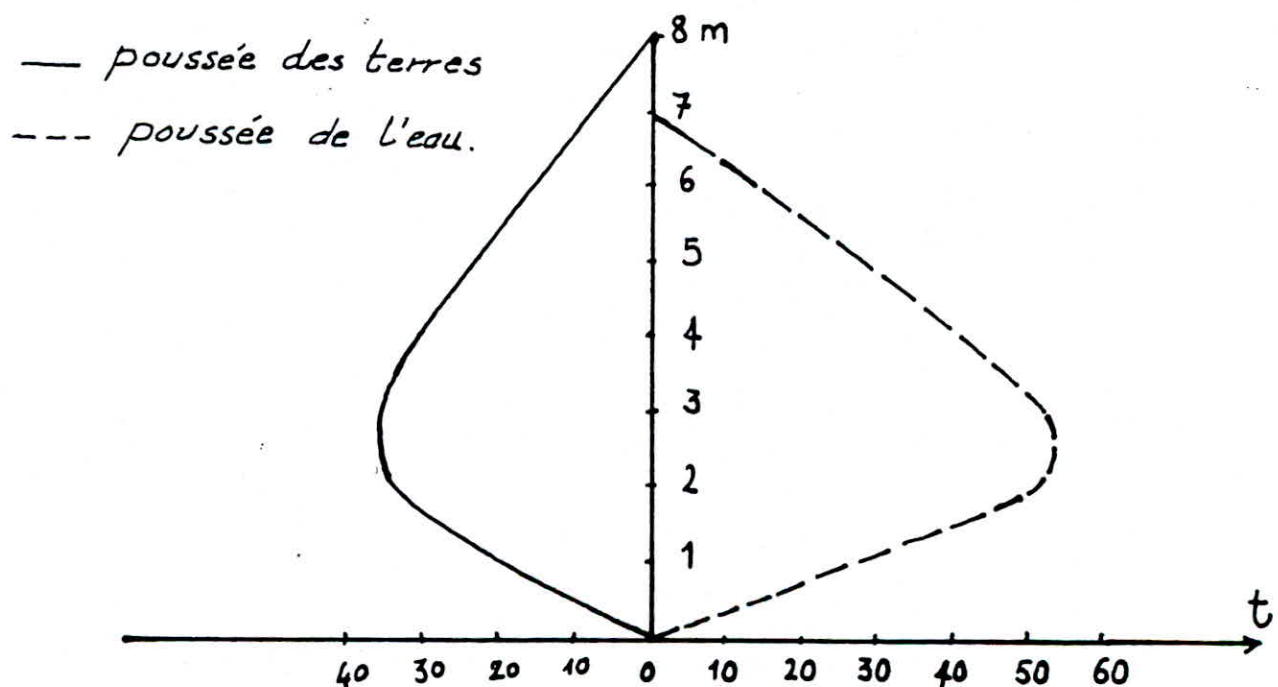
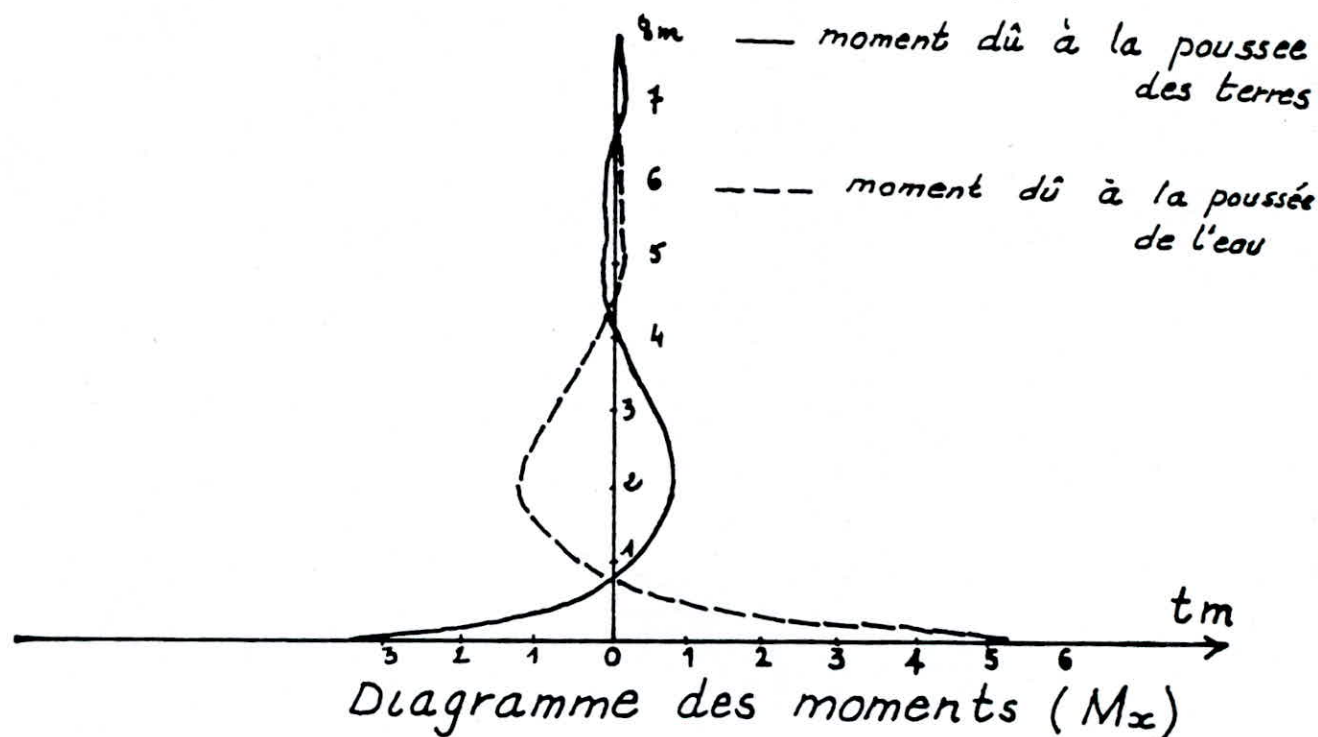


Diagramme des poussées  $N\varphi$

ETUDE

HYDRODYNAMIQUE

# ETUDE HYDRODYNAMIQUE

## I GENERALITES :

Il est possible de décrire le comportement général du fluide vibrant d'après les résultats -expérimentaux et analytiques.

Le fluide que contient le réservoir se répartit en général en deux zones :

- Zone 1 : C'est la zone inférieure du fluide qui représente une masse soumise à des contraintes (sous l'effet d'une accélération sismique horizontale) et qui tend à se déplacer comme un corps rigide en suivant les mouvements du réservoir.
- Zone 2 : c'est la zone supérieure du fluide qui représente une masse qui tend à se déplacer avec un mouvement de vagues.

Nous représenterons ci-dessous un aperçu sur la méthode approchée de calcul d'après HOUSNER

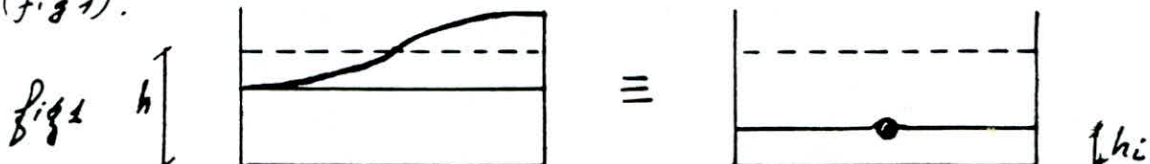
## II APERÇU SUR LA MÉTHODE DE HOUSNER.

\* Cas d'un réservoir posé sur le sol :

Comme on a mentionné ci-dessus, on décompose l'action sismique du liquide en deux types d'actions :

- Une action passive provoquant des efforts d'impulsion
- Une action active provoquant des efforts d'oscillation

Les efforts d'impulsion proviennent du fait qu'une partie de la masse du fluide (dite : masse passive) réagit par inertie à la translation des parois du réservoir. Son système mécanique est obtenu en considérant une masse ( $M_i$ ) liéé rigide-ment au réservoir, à une hauteur ( $h_i$ ) telle qu'elle exerce sur les parois les mêmes efforts horizontaux que la masse d'eau équivalente (fig 1).



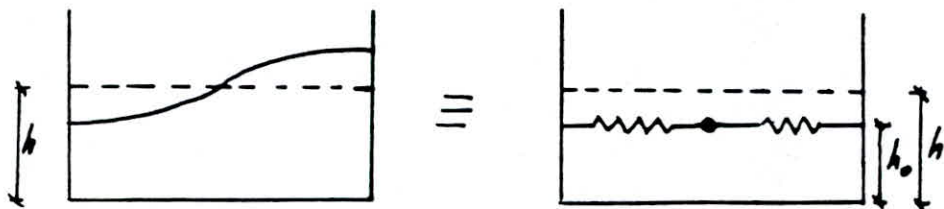
EQUIVALENT MÉCANIQUE DES PRESSIONS D'IMPULSION  
(quand on néglige les oscillations de l'eau)

Quand aux efforts d'oscillation, ils proviennent du fait qu'une autre partie de la masse du fluide (eau dans notre cas) dite masse active se met en mouvement d'oscillation sous l'action du séisme.

Son équivalent mécanique s'obtient en considérant une masse  $M_0$  retenue par un ressort de raideur  $K$  au niveau  $h_0$  ou  $h^*$  dont les oscillations horizontales exercent les mêmes efforts vibratoires que la masse active du fluide.

- Pour le calcul des moments de flexions, les seules actions prises en compte sont celles exercées sur les parois, dans ce cas la masse  $M_0$  est appliquée au niveau  $h_0$  (fig 2)

fig 2



EQUIVALENT MECANIQUE DES PRESSIONS D'OSCILLATION

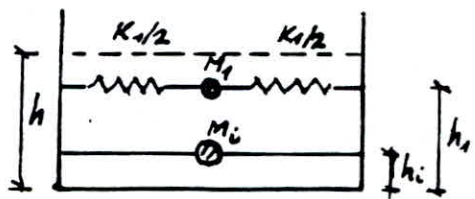
- Pour le calcul du moment de renversement on prend en compte l'action des surpressions sur le fond du réservoir ; dans ce cas la masse  $M_0$  est appliquée au niveau  $h^*$  (fig 3)

fig 3



Ainsi le modèle qu'on retiendra pour l'ensemble des deux types d'actions sera celui de la figure 4 : ci-dessous.

fig 4



### III) NOTATIONS:

$M_0$  : masse d'eau non vibrante du liquide  
 $M_2$  : masse d'eau vibrante du liquide  
 $M_r$  : masse du réservoir

$h_1$  et  $h_3$  : hauteurs engendrant les pressions dynamiques sur le fond du réservoir servant au calcul du moment de renversement (à la base).

$h_2$  et  $h_4$  : hauteurs servant au calcul du moment de flexion

$BM_{max}$  : Moment de flexion maximal dans un plan horizontal situé juste au dessus de la base.

$OT_{max}$  : Moment de renversement maximal dans un plan horizontal situé juste sous la base

$V_{max}$  : cisaillement maximal

$d_{max}$  : déplacement maximal

### IV) Discussion:

les courbes et équations de la méthode de HOUSNER (présentées dans l'ouvrage "CONCEPTION ET CALCUL DES STRUCTURES SOUMISES AUX SEISMES") permettent à l'ingénieur d'effectuer une analyse dynamique faisant intervenir les effets des lois de l'hydrodynamique.

Cette méthode nous permet de calculer la hauteur libre à prévoir pour amortir l'effet de vague qui risque d'endommager le couvercle du réservoir.

## V APPLICATION

### Va) Calcul du poids du réservoir

* Dallette (l'interneau)	$Q_0 = 2,5 (\pi \cdot 1^2 \cdot 0,06) = 0,47 t$
* Coupoles - charge surcharge	$Q_1 = \rho \cdot S = 924 \cdot 381,3 = 91,5 t$
* Arcotere	$S_1 = q \cdot S_p = 0,10 \cdot 361,7 = 36,2 t$
* Ceinture	$Q_2 = 2,5 (2\pi \cdot 10,91 \cdot 0,4 \cdot 0,12) = 8,2 t$
* Paroi - Béton armé	$Q_3 = 2,5 (2\pi \cdot 10,85 \cdot 0,4 \cdot 0,5) = 34,1 t$
- enduit	$Q_4 = 2,5 (2\pi \cdot 10,85 \cdot 0,24 \cdot 8) = 327,2 t$
* Gouset	$Q_5 = 2 (2\pi \cdot 10,85 \cdot 0,06 \cdot 8) = 65,4 t$
	$Q_6 = 2,5 (2\pi \cdot 10,65 \cdot \frac{0,26 \cdot 0,5}{2}) = 10,9 t$

$$\Rightarrow W_I = 574 t$$

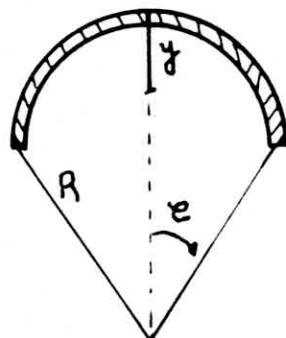
### Vb) Calcul du centre de gravité de la coupole.

$$\varphi = 25,83^\circ$$

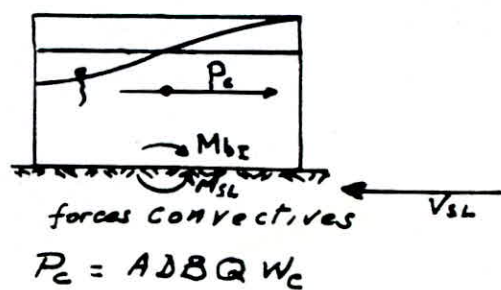
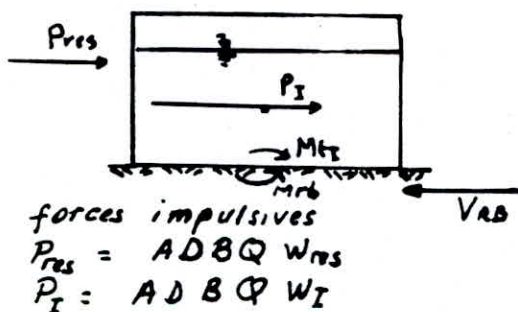
$$y = R \left( 1 - \frac{\sin \varphi}{\varphi} \right)$$

$$= 24,27 \left( 1 - \frac{0,436}{0,451} \right)$$

$$y = 81 \text{ cm.}$$



### Vc) Calcul dynamique



A: coefficient de la zone (c'est une fraction de l'accélération g)

$$\left. \begin{array}{l} \text{Groupe d'usage I} \\ \text{Zone II} \end{array} \right\} \rightarrow A = 0,25g$$

$$(A) = 0,25$$

D: facteur d'amplification dynamique moyen

$$D = f(\beta, T, \text{sol})$$

$\beta$ : amortissement : 95% au 1<sup>er</sup> mode -  
5% au 2<sup>nd</sup> mode

T: période propre

Sol: au niveau de la fondation nous avons un sol meuble  
(argile graveleuse)

B: facteur de comportement de la structure  
catégorie 8  $\Rightarrow B = \frac{1}{2}$

Q : facteur de la qualité :

- contrôle de la qualité des matériaux (critère non observé)  $\rightarrow 0,2$
- contrôle de la qualité de la construction (critère non observé)  $\rightarrow 0,1$

$$\Rightarrow Q = 1 + \sum_{i=1}^6 P_i$$

$$Q = 1 + 0 + 0 + 0 + 0 + 0,1 + 0,1 = 1,2$$

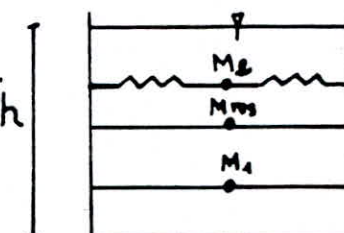
le modèle dynamique du réservoir

On a un système à deux degrés de liberté

$$\text{Soit } \alpha = \frac{h}{r} = \frac{2}{10,8} = 0,1854$$

$\alpha < 1,5 \Rightarrow$  c'est un réservoir à faible hauteur.

$$\alpha = 0,1854 \Rightarrow \left\{ \begin{array}{l} C_1 = 1,5 ; C_5 = 0,08 \\ C_2 = 1,28 ; C_6 = 0,60 \\ C_3 = 0,40 ; C_7 = 0,09 \\ C_4 = 0,37 ; C_8 = 0,56 \end{array} \right.$$



## Calcul

$$M = M_1 + M_c = 2500 \text{ t} \quad - \text{masse d'eau}$$

$$M'_1 = \frac{M_{14} (\sqrt{3} \cdot \frac{r}{h})}{\sqrt{3} \cdot \frac{r}{h}} = \frac{M_{14} (2,65)}{2,65} = 0,373 \text{ m}$$

$$\rightarrow M'_1 = 934 \text{ t}$$

$$M_1 = 1566 \text{ t}$$

or comme  $\frac{h}{r} < 1,5$  on doit ajouter à  $M'_1$  le poids de la paroi du réservoir

$$M_1 = M'_1 + M_{res} = 934 + 574 = 1508 \text{ t}$$

$$M_2 = 1566 \text{ t}$$

$$W_o^2 = 1,84 \frac{g}{r} h (1,84 \frac{h}{r})$$

$$W_o^2 = 1,84 \cdot \frac{9,81}{10,70} + h (1,84 \cdot \frac{7}{10,7})$$

$$W_o^2 = 1,409 \left( \frac{r}{s} \right)^2$$

\* les rigidités

$$I_x = \pi r^3 e = \pi (10,85)^3 \cdot 0,24 = 963,1 \text{ m}^4$$

$$E = 2100 \sqrt{S_y} = 21000 \sqrt{12300} = 3,984 \cdot 10^5 \text{ t/m}^2$$

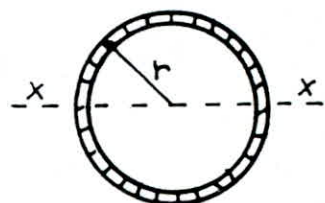
$$l = h_e = \frac{3}{8} h = \frac{3}{8} \cdot 7 = 2,625 \text{ m}$$

$$K_1 = \frac{3 \cdot E I}{l^3}$$

$$K_1 = \frac{3 \cdot 3,984 \cdot 10^5 \cdot 963,1}{(2,625)^3} = 6,39 \cdot 10^8 \text{ t/m}$$

$$K_1 = 6,39 \cdot 10^{12} \text{ N/m}$$

$$K_2 = M_2 \cdot W_o^2 = 2,207 \cdot 10^6 \text{ N/m}$$



- 39

\* la matrice de rigidité

$$K = \begin{vmatrix} K_{11} & K_{12} \\ K_{21} & K_{22} \end{vmatrix}$$

avec  $K_{11} = K_1 + K_2 = 6390002,207 \cdot 10^6 \text{ N/m}$

$$K_{22} = K_2 = 2,207 \cdot 10^6 \text{ N/m}$$

$$K_{12} = K_{21} = -K_2 = -2,207 \cdot 10^6 \text{ N/m}$$

\* les fréquences circulaires

$$\omega_{1,2}^2 = \frac{1}{2} \left[ \frac{K_{11}}{M_2} + \frac{K_{22}}{M_1} \pm \sqrt{\left( \frac{K_{11}}{M_2} - \frac{K_{22}}{M_1} \right)^2 + 4 \frac{K_{12} \cdot K_{21}}{M_1 M_2}} \right]$$

$$\omega_{1,2}^2 = \frac{1}{2} \left[ \frac{6390002,207}{1,566} + \frac{2,207}{1,508} \pm \sqrt{\left( \frac{6390002,207}{1,566} - \frac{2,207}{1,508} \right)^2 + 4 \frac{(2,207)^2}{1,566 \cdot 1,508}} \right]$$

$$\omega_1^2 = 1,464 \left( \frac{rad}{s} \right)^2 \rightarrow \text{premier mode : } \omega_1 = 1,210 \frac{rad}{s}$$

$$\omega_2^2 = 4080462,179 \left( \frac{rad}{s} \right)^2 \rightarrow \text{deuxième mode : } \omega_2 = 2020,015 \frac{rad}{s}$$

\* les périodes

$$\text{premier mode : } T_1 = \frac{2\pi}{\omega_1} = 5,19 \text{ s}$$

$$\text{deuxième mode : } T_2 = \frac{2\pi}{\omega_2} = 3,11 \cdot 10^{-3} \text{ s}$$

\* les taux d'amplitude

$$\text{Premier mode : } \phi_1 = \frac{-\frac{K_{12}}{M_2}}{\frac{K_{11}}{M_2} - \omega_1^2} = \frac{\frac{2,207}{1,566}}{\frac{6390002,207}{1,566} - 1,464} = 3,454 \cdot 10^{-7}$$

$$\text{deuxième mode } \phi_2 = \frac{-\frac{k_{12}}{M_2}}{\frac{k_{11}}{M_2} - \omega_2^2} = \frac{\frac{2,207}{1,566}}{\frac{6390002,207}{1,566} - 4080469,179} = 1007$$

\* les facteurs de contribution

$$\gamma_1 = \frac{M_2 \phi_1 + M_1}{M_2 \phi_1^2 + M_1} = \frac{M_1}{M_1} = 1$$

$$\gamma_2 = \frac{M_2 \phi_2 + M_1}{M_2 \phi_2^2 + M_1} = \frac{1}{\phi_2} = 9,93 \cdot 10^{-4}$$

\* Calcul des accélérations

- premier mode :  $\beta = 0,5\%$
- $T_1 = 5,19$
- Sol meuble

$$\left. \begin{array}{l} \\ \\ \end{array} \right\} \Rightarrow D = 1$$

$$(A_1) = ABDQ = 0,25 \cdot 1 \cdot \frac{1}{2} \cdot 1,2 = 0,15$$

$$\Rightarrow A_1 = (A_1) \cdot g = 1,47 \text{ m/s}^2$$

- Deuxième mode :  $\beta = 5\%$
- $T_2 = 3,44 \cdot 10^{-3} \text{ s}$
- Sol meuble

$$\left. \begin{array}{l} \\ \\ \end{array} \right\} \Rightarrow D = 2$$

$$s_0 = A \cdot D = 0,25 \cdot 2 = 0,5$$

$$s_0'' = \frac{s_0}{\sqrt{\frac{1,4}{8} - 1}} = \frac{0,5}{\sqrt{\frac{1,4}{1,2} - 1}} = 0,28$$

$$s'_0 = s_0'' \cdot Q = 0,28 \cdot 1,2 = 0,34$$

$$\Rightarrow (A_2) = 0,34 \Rightarrow A_2 = (A_2) \cdot g = 3,3 \text{ m/s}^2$$

## \* les forces latérales

### • premier mode :

$$F_{11} = M_1 \cdot \delta_1 \cdot A_1 \cdot \phi_1 = 1,508 \cdot 10^6 \cdot 1,47 \cdot 3,454 \cdot 10^{-7} = 0,76 N$$

$$F_{21} = M_2 \cdot \delta_1 \cdot A_2 = 1,566 \cdot 10^6 \cdot 1,47 = 2,30 \cdot 10^6 N$$

### • Deuxième mode :

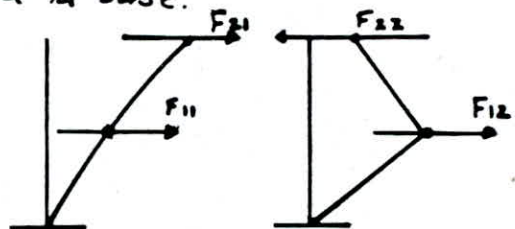
$$F_{12} = M_1 \cdot \delta_2 \cdot A_1 \cdot \phi_2 = 1,508 \cdot 10^6 \cdot 3,3 = 4,98 \cdot 10^6 N$$

$$F_{22} = M_2 \cdot A_2 \cdot \delta_2 = 3,3 \cdot 1,566 \cdot 10^6 \cdot 9,93 \cdot 10^{-4} = 51,3 \cdot 10^2 N$$

Combinaison : Cisaillement à la base.

$$\bar{F}_1 = \sqrt{F_{11}^2 + F_{21}^2} = 4,98 \cdot 10^6 N$$

$$F_2 = \sqrt{F_{12}^2 + F_{22}^2} = 2,3 \cdot 10^6 N$$



$$\sqrt{F_1^2 + F_2^2} = 728 t \quad : \text{effort tranchant à la base}$$

## \* Moment de flexion total

Dans un plan horizontal situé juste au dessus de la base

$$\text{on a: } h_2 = \frac{3}{8} h = 2,925 \text{ m}$$

$$h_4 = c_g \cdot h = 0,56 \cdot 7 = 3,92 \text{ m}$$

$$h_1 = 10 \cdot c_g \cdot h = 10 \cdot 0,09 \cdot 7 = 5,6 \text{ m}$$

$$h_3 = 10 \cdot c_g \cdot h = 10 \cdot 0,09 \cdot 7 = 6,3 \text{ m}$$

$$B\Gamma_{ax} = F_1 \cdot h_2 + F_2 \cdot h_4$$

$$= 10^6 (4,98 \cdot 2,925 + 2,3 \cdot 3,92) = 23,59 \cdot 10^6 N.m$$

## \* Moment de renversement :

$$OT_{max} = F_1 \cdot h_1 + F_2 \cdot h_3$$

$$= 10^6 (4,98 \cdot 5,6 + 2,3 \cdot 6,3) = 42,38 \cdot 10^6 N.m$$

\* Calcul du déplacement vertical maximal

. Premier mode :

$$d_{max_1} = \frac{C_3 \cdot r}{\frac{1}{Q} - 1}$$

$$Q = (A_1) \cdot (1 - \phi_1) C_2 = 0,25 (1 - 3454 \cdot 10^{-7}) 1,28 = 0,192$$

$$\Rightarrow d_{max_1} = \frac{0,4 \cdot 10,7}{\frac{1}{0,192} - 1} = 1,02 \text{ m}$$

deuxième mode

$$d_{max_2} = \frac{1}{W_2} (A_2) \gamma^2 (1 - \phi_2) C_2$$

$$d_{max_2} = \frac{1}{4080461,979} \cdot 3,3 \cdot 9,93 \cdot 10^{-4} (1 - 100\%) 1,28 \approx 0$$

$$\Rightarrow d_{max} = \sqrt{d_{max_1}^2 + d_{max_2}^2} = 1,02 \text{ m}$$

Or on a laissé au dessus du niveau d'eau une couronne de paroi de 1 mètre de largeur, plus la demi largeur de la ceinture.

$$\text{c.e.d. : } d = 1,00 + \frac{0,50}{2} = 1,25 \text{ m} > d_{max} = 1,02 \text{ m}$$

## VERIFICATION DE LA PAROI DU RESERVOIR

### I) GENERALITES :

L'objet de l'étude est l'évaluation des contraintes maximales dans le béton et l'acier ( $\sigma_b'$  et  $\sigma_a'$ ) engendrées par les charges extérieures

La paroi est soumise à deux types de sollicitation

- \* les sollicitations d'ensemble.
- \* les sollicitations locales.

#### a) les sollicitations d'ensemble :

Ce terme est utilisé pour désigner les sollicitations agissantes sur la structure considérée comme une console encastrée dans le sol.

Ces sollicitations sont : le moment fléchissant  $M$ , l'effort tranchant  $T$  et l'effort normal  $N$  (les plus défavorables) qui donnent les contraintes moyennes  $\sigma_{a_m}'$  et  $\sigma_{b_m}'$ . En supposant que le rapport  $\frac{E}{D}$  est suffisamment faible, on peut théoriquement concentrer le béton et l'acier dans la surface moyenne.

#### b) les sollicitations locales :

Ces sollicitations produisent uniquement des flexions locales qui sont dues aux moments d'ovalisation et d'ensoleillement.

### II) CALCUL DES EFFORTS :

#### a) Sollicitations d'ensemble :

Les éléments structuraux doivent être dimensionnés pour les combinaisons les plus défavorables. On considère les combinaisons suivantes :

$$\begin{aligned} & \bullet G + P + V ; \quad \bullet G + P + S1 ; \quad \bullet 0,8G + S1 ; \quad \bullet 0,8G - S1 . \end{aligned}$$

#### b) Sollicitations locales .

\* Moment d'ovalisation  $M_o$

$$M_o = k \cdot q_n \cdot \delta_o \cdot D_m^2$$

$\delta$  = coefficient de dimension = 0,77 (en fonction de  $D_m$ )

$D_m$  : diamètre moyen du réservoir

$$q_n = \text{pression de base} = q_{10} 2,5 \frac{H+18}{H+60} = 70 \cdot 2,5 \frac{H+18}{H+60}$$

$$H = 8 \text{ m} \Rightarrow q_n = 66,9 \text{ kg/m}^2$$

$$H = 0 \Rightarrow q_n = 52,5 \text{ kg/m}^2$$

Chaque tronçon de paroi est en équilibre sous l'action de la pression locale du vent  $p$  et des cisaillements  $\gamma$  engendrés dans l'épaisseur de la paroi.

les effets  $p$  et  $\gamma$  produisent des moments fléchissants d'ovalisation :  $M_o = K \cdot q_n \cdot \delta_0 \cdot D_m^2$  qui sont donnés dans le "RNVES" pour les cas  $\delta_0 = 1$  et  $\delta_0 = 1,3$

Pour  $\delta_0 = 1 \rightarrow$  face ouvert: fibre intérieures tendues

$$M_{oi} = 0,061 \cdot q \cdot \delta_0 \cdot D_m^2$$

$\rightarrow$  face latérale: fibre extérieures tendues

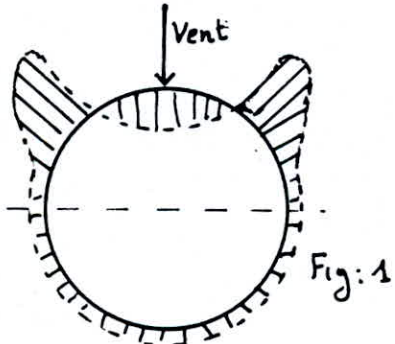
$$M_{oe} = 0,053 \cdot q \cdot \delta_0 \cdot D_m^2$$

Or pour notre cas  $\delta_0 = 0,9$ , mais on considérera le cas  $\delta_0 = 1$ ; nous serons plus en sécurité

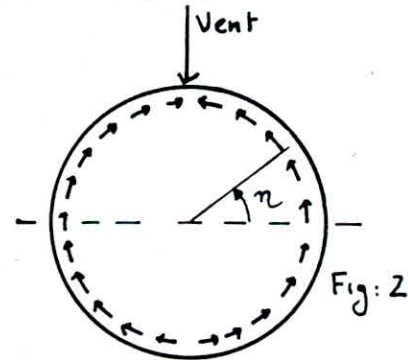
et donc:  $D_m = 21,70 \text{ m}$

$$M_{oi} = 0,061 \cdot 52,5 \cdot 0,77 \cdot 21,70^2 = 1,16 \text{ t.m.}$$

$$M_{oe} = 0,053 \cdot 52,5 \cdot 0,77 \cdot 21,70^2 = 1,01 \text{ t.m.}$$



$$p = C_e \cdot q \cdot \delta$$



$$Z = \frac{2H}{S} \cos n$$

$S$ : aire de la section

L'allure de la courbe (fig 1) représentant la variation de  $C_e$  donne une idée de la répartition des pressions du vent sur la paroi.

\* Moment thermique :  $M_T$

$$M_{Ti} = \frac{\mu \cdot T_s \cdot E \cdot h_0^3}{2,75 \cdot D_m} ; M_{Te} = \frac{\mu \cdot T_s \cdot E \cdot h_0^3}{5 \cdot D_m}$$

$\mu$ : module de dilatation linéaire ( $\mu = 10^{-5}$ )

$T_s$  = différence de température entre la face intérieure et la face extérieure :  $T_s = 10^\circ\text{C}$

$h_0$  = épaisseur du voile  $h_0 = 0,24 \text{ m}$

$E = 3,98 \cdot 10^6 \text{ t/m}^2$

$$\Rightarrow M_{r_i} = \frac{10^{-3} \cdot 10 \cdot 3,98 \cdot 10^6 \cdot 0,24^3}{2,75 \cdot 21,70} = 0,092 \text{ t.m}$$

$$M_{r_e} = M_{r_i} \cdot \frac{2,75}{5} = 0,051 \text{ t.m}$$

### III) Base de calcul

Differents cas de charges

trois cas de charges sont à envisager:

- cas de charge A: sollicitation d'ensemble
- Cas de charge B: sollicitations locales
- Cas de charge C: sollicitations d'ensemble et locales.

On fera la vérification juste pour la section d'enca斯特rement qui est la section la plus défavorable.

COMBINAISON	M (t.m)	N (t)	T (t)
G + P + SI	2358	574	728
0,8 G + SI	2358	430,1	728
0,8 G - SI	- 2358	430,1	- 728

III a) CAS DE CHARGE A

le cas le plus défavorable est donné par la combinaison:

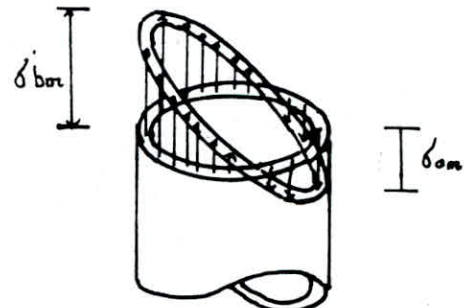
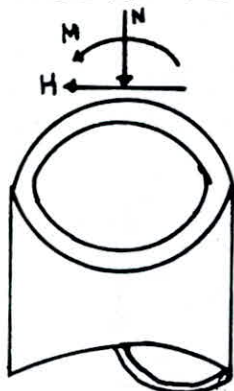
$$0,8 G + S_2$$

donnant:  $M = 2358 \text{ t.m}$

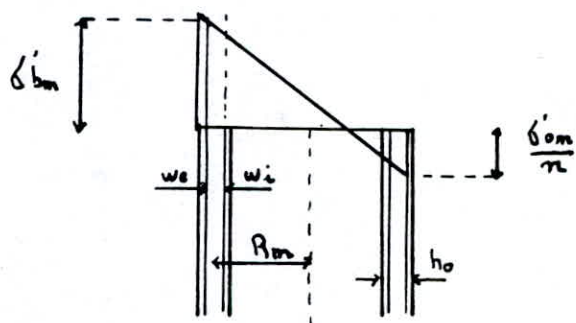
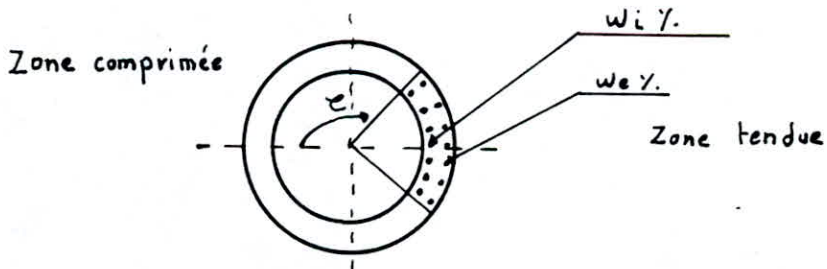
$$N = 430,1 \text{ t}$$

$$T = 728 \text{ t}$$

\* Sens vertical



Le moment d'ensemble  $M$  et la charge verticale  $N$  sont équilibrés par les efforts normaux répartis sur le pourtour de la coque d'après les figures ci-dessous:



Pour le calcul numérique nous utisons les tableaux C<sub>7</sub> dans l'ouvrage de MARIUS DIVER en page 197 et dont les coefficients et notations sont indiqués sur la page précédente

\* Choix du ferrailage :

Le ferrailage est déjà choisi sous les sollicitations du 1<sup>er</sup> genre.

- Pour les armatures verticales extérieures on a pris :

$$5 \text{ H.A. } 12 / \text{m.l.} \quad \text{d'où } A_e = 5,65 \text{ cm}^2$$

$$\rightarrow \tilde{W}_e = 0,235\%$$

- Pour les armatures verticales intérieures on a pris :

$$5 \text{ H.A. } 20 / \text{m.l.} \quad \text{d'où } A_i = 15,71 \text{ cm}^2$$

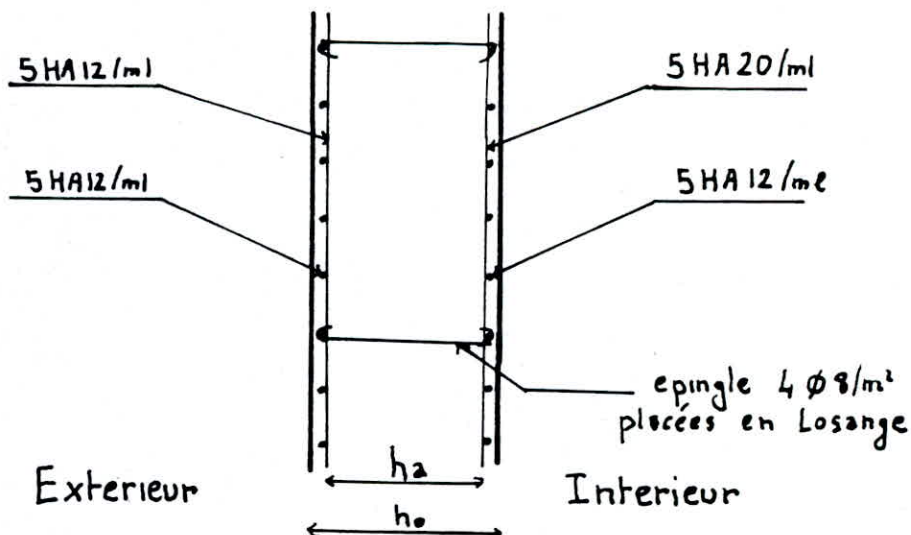
$$\rightarrow \tilde{W}_i = 0,655\%$$

- pour les armatures transversales (horizontales) qui sont en cercles on a trouvé 5 H.A. 12 pour la face intérieure et la même chose pour la face extérieure.

$$\text{d'où } A_{t_e} = A_{t_i} = 5,65 \text{ cm}^2 \Rightarrow W_{t_e} = W_{t_i} = 0,235\%$$

On placera des épingles pour maintenir le ferrailage de notre voile.

On mettra 4  $\phi 8$  par  $\text{m}^2$  placées en losange d'après le schéma suivant.



$$\begin{aligned} \sum w &= w_e + w_1 = 0,89\% \\ a &= \frac{M}{N \cdot R_m} = \frac{2358}{10,85 \cdot 430,1} = 0,505 \end{aligned} \quad \left. \begin{array}{l} \text{tableau C7} \\ \xrightarrow{\text{M. DIVER}} \end{array} \right\} \quad \begin{array}{l} b = 0,28 \\ s = 0,001 \end{array}$$

$$\text{d'où } \tilde{\sigma}_{b_m}' = \frac{N \cdot b}{R_m \cdot h_0} = \frac{430100 \cdot 0,28}{1085 \cdot 24} = 4,62 \text{ kg/cm}^2$$

$$\tilde{\sigma}_{a_m} = n \cdot s \cdot \tilde{\sigma}_{b_m}' = 15 \cdot 0,001 \cdot 4,62 = 0 \text{ kg/cm}^2$$

\* Sens transversal  
l'effort tranchant produit des cisaillements

$$\zeta = \frac{H}{b \cdot z} = \frac{H}{1,6 \cdot D_m \cdot h_0}$$

les cisaillements fissurent le béton à  $45^\circ$ . L'équilibre étant assuré par les bielles comprimées à  $45^\circ$  et les armatures transversales

Donc la traction dans les cernes est :

$$\tilde{\sigma}_{a_m} = \frac{100 Z}{\sum w} = \frac{100 \cdot H}{1,6 \cdot D_m \cdot \sum w \cdot h_0}$$

$$\sum w_t = 0,47\%$$

$$\tilde{\sigma}_{a_m} = \frac{100 \cdot 728 \cdot 10^3}{1,6 \cdot 2140 \cdot 0,47 \cdot 24} = 1858,9 \text{ kg/cm}^2$$

### III<sub>b</sub>) Cas de charge B :

Il est supposé qu'une section entièrement ou partiellement comprimée (ou tendue) sous l'effet des sollicitations d'ensemble reste entièrement ou partiellement comprimée (ou tendue) sous les sollicitations locales.

\* Sens vertical

les sollicitations locales n'ont pas d'influence sur le sens vertical car on n'a pas de consoles internes

\* Sens transversal :

- les aciers extérieurs

$$\xi_1 = \frac{h}{h_0} = \frac{20}{24} = 0,833$$

$$\left. \begin{array}{l} C = \frac{A_{ei}}{A_{te}} = 1 \\ w_e = 0,235\% \end{array} \right\} \Rightarrow \alpha = 0,206 \quad (\text{tableau C, page 177})$$

$$\delta_{oe} = \frac{M_{oe}}{h_0 \left( \frac{3}{4} - \frac{\alpha}{3} \right) A_{te}} = \frac{1,01 \cdot 10^5}{24(0,833 - \frac{0,206}{3}) \cdot 5,65} = 974,5 \text{ kg/cm}^2$$

$$\delta_{re} = \frac{M_{re}}{h_a \cdot A_{te}} = \frac{0,051 \cdot 10^5}{16 \cdot 5,65} = 56,4 \text{ kg/cm}^2$$

\* les aciers intérieurs

$$\frac{3}{4} = 0,833$$

$$\delta_{oi} = \frac{M_{oi}}{h_0 \left( \frac{3}{4} - \frac{\alpha}{3} \right)} = \frac{1,16 \cdot 10^5}{24(0,833 - \frac{0,206}{3}) 5,65} = 1119,2 \text{ kg/cm}^2$$

$$\delta_{ri} = \frac{M_{ri}}{h_a \cdot A_{ti}} = \frac{0,092 \cdot 10^5}{16 \cdot 5,65} = 101,8 \text{ kg/cm}^2$$

### III:c) Cas de charge C:

Il est supposé que la superposition des sollicitations d'ensemble et locales produit une flexion composée dans l'épaisseur de la paroi et que les méthodes couramment utilisées dans la résistance des matériaux continuent d'être applicables.

\* Sens Vertical

Comme on n'a pas de consoles intérieures ce cas de charge donne les mêmes résultats que le cas de charge "A" dans le sens vertical.

\* Sens transversal

- Aciers extérieurs:

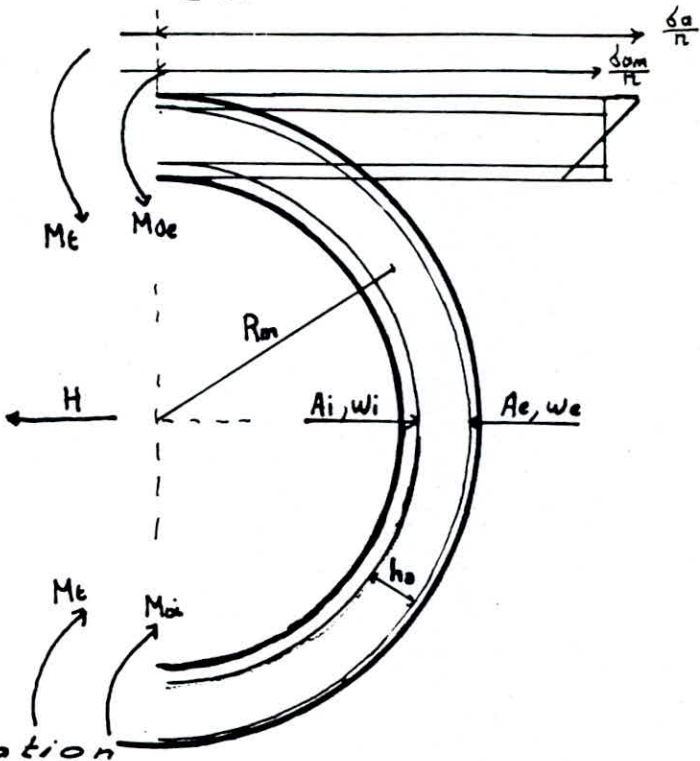
$$\delta_{at} = \delta_{am} + \delta_{oe} + \delta_{re} = 1858,9 + 974,5 + 56,5$$

$$\text{d'où } \delta_{at} = 2890 \text{ kg/cm}^2 < \delta_{en} = 4200 \text{ kg/cm}^2$$

- Aciers intérieurs

$$\delta_{at} = \delta_{am} + \delta_{oi} + \delta_{ri} = 1858,9 + 1119,2 + 101,8$$

$$\text{d'où } \delta_{at} = 3080 \text{ kg/cm}^2 < \delta_{en} = 4200 \text{ kg/cm}^2$$



Récapitulation

Section d'encastrement

			cas de charge A	cas de charge B	cas de charge C
Ferraillages					
sens vertical	Béton	-	$\delta_b' = 4,62 \text{ kg/cm}^2$	-	$\delta_b' = 4,82 \text{ kg/cm}^2$
		Extér.	$5 \text{ HA. } 12 / \text{m.l}$ $A_e = 5,65 \text{ cm}^2$ $W_e = 0,235 \%$	$\delta_a \approx 0$	$\delta_a \approx 0$
	nappes	Intér.	$5 \text{ HA. } 20 / \text{m.l}$ $A_i = 15,71 \text{ cm}^2$ $W_i = 0,655 \%$	-	$\delta_a \approx 0$
		Exter.	$5 \text{ HA. } 12 / \text{m.l}$ $A_{e\ell} = 5,65 \text{ cm}^2$ $W_{e\ell} = 0,235 \%$	$\delta_{e\ell} = 974,5 \text{ kg/cm}^2$ $\delta_{r\ell} = 56,4 \text{ kg/cm}^2$ $\delta_a = 2890 \text{ kg/cm}^2$	$\delta_a = 2890 \text{ kg/cm}^2$
sens transversal	nappes	Intér.	$5 \text{ HA. } 12 / \text{m.l}$ $A_{i\ell} = 5,65 \text{ cm}^2$ $W_{i\ell} = 0,235 \%$	$\delta_{ai} = 1119,2 \text{ kg/cm}^2$ $\delta_{ri} = 101,8 \text{ kg/cm}^2$ $\delta_a = 3080 \text{ kg/cm}^2$	$\delta_a = 3080 \text{ kg/cm}^2$

\* Vérification au cisaillement

Le contreventement de la structure est assuré par le voile circulaire, donc celui-ci reprendra à lui seul l'effort tranchant

On doit vérifier:  $\bar{\tau}_b = \frac{T \cdot S}{I \cdot b} \leq \bar{\tau}_b$

avec  $T = 1,4 T_{calcul}$       }      R.P.A.: Art. 4.3.22  
 $\bar{\tau}_b = 0,12 \delta_{28}$

$S = \text{moment statique} = 56,53 \text{ m}^3$

$I = \text{moment d'inertie} = 963,17 \text{ m}^4$

$b = 2 \text{ fois l'épaisseur du voile} = 0,48 \text{ m}$

La vérification sera faite pour la section la plus dangereuse :

C. a. d. la section d'encaissement:  $T = 728 \text{ t}$

$$\bar{\tau}_b = \frac{1,4 \cdot 728 \cdot 10^3 \cdot 56,53}{963,17 \cdot 0,48 \cdot 10^4} = 12,46 \text{ kg/cm}^2$$

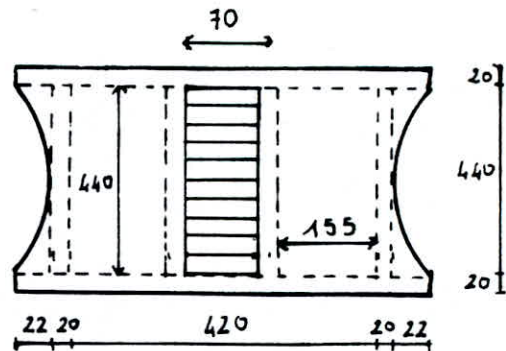
$$\bar{\tau}_b < \bar{\tau}_b = 0,12 \cdot 300 = 36 \text{ kg/cm}^2$$

CHAMBRE  
DES VANNES

# LA CHAMBRE DES VANNES

## I) Calcul du plancher

Le plancher comporte une ouverture sur toute sa largeur de dimensions :  $(440 \cdot 70) \text{ cm}^2$ . Sur cette ouverture on mettra 11 dalles préfabriquées de dimensions :  $(70 \cdot 40) \text{ cm}^2$ . Ces dalles reposent sur deux poutres de dimensions  $(20 \cdot 30 \text{ cm}^2)$ .



### 1) Calcul du panneau I

- poids propre de la dalle =  $2500 \cdot 0,08 = 200 \text{ kg/m}^2$
- étanchéité multi couche :  $20 \text{ kg/m}^2$
- surcharge d'exploitation :  $175 \text{ kg/m}^2$

$$\Rightarrow q = G + 1,2P = 220 + 1,2 \cdot 175 = 430 \text{ kg/m}^2$$

Les dimensions du panneau sont :  $l_x = 155 \text{ cm}$

$$l_y = 440 \text{ cm}$$

$$h_t = 8 \text{ cm}$$

$\frac{l_x}{l_y} = \frac{155}{440} = 0,352 < 0,4 \Rightarrow$  le panneau sera calculé comme une poutre flexion simple dans le sens de la petite portée

$$M_{tx} = \frac{q l_x^2}{8} = 430 \cdot \frac{1,55^3}{8} = 129,4 \text{ kg.m}$$

$$M_{ty} = \frac{M_{tx}}{4} = \frac{129,4}{4} = 32,3 \text{ kg.m}$$

$$M_{ax} = M_{ay} = 0,15 \cdot M_{tx} = 19,4 \text{ kg.m}$$

(BELLAZOUNGUI  
Page 161)

## b) Ferrailage

$$h_x = h_o - e - \frac{\phi}{2} = 8 - 1 - 0,4 = 6,6 \text{ cm}$$

$$h_y = h_x - \phi = 6,6 - 0,8 = 5,8 \text{ cm}$$

\* Suivant x :

en travée :  $M_{tx} = 129,2 \text{ kg.m}$

$$\mu = \frac{15.M}{\bar{\sigma}_a \cdot b \cdot h_{\infty}^2} = 0,0158 \quad \left\{ \begin{array}{l} \varepsilon = 0,9445 \\ K = 75 \end{array} \right.$$

$$A = \frac{M}{\bar{\sigma}_a \cdot \varepsilon \cdot h_x} = \frac{12920}{2800 \cdot 0,9445 \cdot 6,6} = 0,74 \text{ cm}^2/\text{m.1}$$

\* Condition de non fragilité

$$A \geq 0,69 b h \frac{\bar{\sigma}_b}{\bar{\sigma}_{en}} \left( \frac{1 - \frac{L_x}{L_y}}{2} \right) = 0,54 \text{ cm}^2$$

$$A \geq 0,69 b h \frac{\bar{\sigma}_b}{\bar{\sigma}_{en}} \left( \frac{1 + \frac{L_x}{L_y}}{4} \right) = 0,20 \text{ cm}^2$$

### Recapitulatif

		$M$ Kg.m	$A$ $\text{cm}^2$	$A$ choisie $\text{cm}^2$	$\bar{\sigma}'_b$ $\text{kg/cm}^2$
Sens xx	en travée	129,2	0,74	$476/\text{m.L} = 1,13$	36,4
	sur appuis	19,4	0,10	$476/\text{m.L} = 1,13$	13,7
Sens yy	en travée	32,3	0,21	$476/\text{m.L} = 1,13$	20,3
	sur appuis	19,4	0,10	$476/\text{m.L} = 1,13$	13,7

### 1.c: Vérification de la fissuration

$$\sigma_2 = 2,4 \sqrt{\frac{K \cdot \eta \bar{\sigma}_b}{\phi}} = 2,4 \sqrt{\frac{1,6 \cdot 1,5 \cdot 10^6 \cdot 6,25}{6}} = 3794,73 \text{ kg/cm}^2$$

$$\Rightarrow \bar{\sigma}_a = \min \left\{ \frac{2}{3} \bar{\sigma}_{en}, \max(\sigma_1, \sigma_2) \right\} = 2800 \text{ kg/cm}^2$$

1. d) Vérification de l'effort tranchant

$$\bar{C} = \frac{T}{b \cdot z} \leq \bar{C}_b = 1,15 \bar{\sigma}_b$$

$$T_x = \frac{q_x \cdot l_x}{2} = \frac{430 \cdot 155}{2} = 334 \text{ kg}$$

$$\bar{C} = \frac{8T}{f \cdot b h_x} = \frac{8 \cdot 334}{f \cdot 100 \cdot 6,6} = 0,6 \text{ kg/cm}^2 < 1,15 \bar{\sigma}_b = 7,3 \text{ kg/cm}^2$$

1-e : Vérification de la flèche : C.C.B.A. (Art: 61.22)

On peut admettre qu'il n'est pas utile de donner une justification des flèches si les conditions suivantes sont réalisées :

- $\frac{h_t}{b} > \frac{1}{20} \frac{M_{tx}}{M_{ax}}$

- $\frac{A}{b h_y} < \frac{20}{\bar{\sigma}_{en}}$

Dans notre cas

$$\frac{8}{155} = 0,052 > \frac{1}{20} \cdot \frac{1}{1} = 0,050$$

$$\frac{1,13}{100 \cdot 5,8} = 1,95 \cdot 10^{-3} < \frac{20}{4200} = 4,8 \cdot 10^{-3}$$

### II) Calcul des poutrelles:

On étudiera la poutrelle I qui est la plus sollicitée.

#### 1) calcul des charges et surcharges

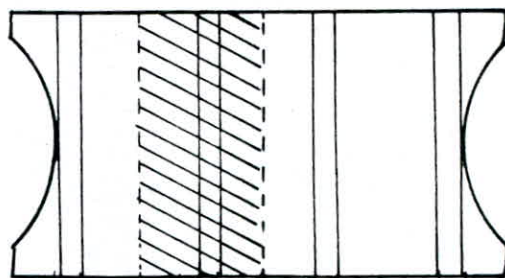
\* poids de la dalle

$$430 \cdot (0,775 + 0,35) = 484 \text{ kg/m.l.}$$

\* poids de la poutrelle :

$$2500 \cdot (0,2 + 0,3) = 150 \text{ kg/m.l.}$$

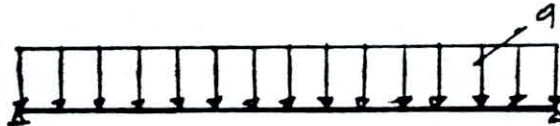
\* Surcharge d'exploitation :  $145 \cdot (0,775 + 0,35) = 197 \text{ kg/m.l.}$



$$\Rightarrow q = G + 1,2 P = 870 \text{ kg/m.L}$$

$2G > P \Rightarrow$  On peut appliquer la méthode fortfaitaire

### 2) Schémas statique et calcul des efforts



$$M_f = q \frac{l^2}{8} = \frac{870 \cdot 4,4^2}{8} = 2,11 \text{ t.m}$$

$$M_a = 0,15 \cdot M_f = 0,32 \text{ t.m}$$

$$T = \frac{q l}{2} = 870 \cdot \frac{4,4}{2} = 1,92$$

### 3) Ferrailage :

- entrée /  $M_c = 2,11 \text{ t.m}$

$$\mu = \frac{15 M}{\sigma_a \cdot b \cdot h^2} = \frac{15 \cdot 2,11 \cdot 10^5}{2800 \cdot 20 \cdot 26^2} = 0,0836 \rightarrow \begin{cases} \epsilon = 0,8832 \\ K = 27,8 \end{cases}$$

$$\tilde{\sigma}_b' = \frac{2800}{27,8} = 102,2 \text{ kg/cm}^2$$

$$A = \frac{2,11 \cdot 10^5}{0,8832 \cdot 26 \cdot 2800} = 3,28 \text{ cm}^2$$

$$\Rightarrow A = 3 HA 12 = 3,39 \text{ cm}^2$$

- sur appuis :  $M = 0,32 \text{ t.m}$

$$\mu = \frac{15 M}{\sigma_a \cdot b \cdot h^2} = \frac{15 \cdot 0,32 \cdot 10^5}{2800 \cdot 20 \cdot 26^2} = 0,0126 \rightarrow \begin{cases} \epsilon = 0,95 \\ K = 85 \end{cases}$$

$$\tilde{\sigma}_b' = \frac{2800}{85} = 33 \text{ kg/cm}^2$$

$$A = \frac{0,32 \cdot 10^5}{0,95 \cdot 26 \cdot 2800} = 0,46 \text{ cm}^2 \Rightarrow A = 3 HA 10 = 2,35 \text{ cm}^2$$

\* Armature transversal

$$Z_b = \frac{T_{max}}{b \cdot z} = \frac{8 \cdot 1920}{7 \cdot 20 \cdot 26} = 1,22 \text{ kg/cm}^2 < \bar{Z}_b$$

On prendra (un cadre + un épinglé)  $\phi 6 \Rightarrow A_t = 0,84 \text{ cm}^2$

Espacement  $t$ :

$$t \leq \frac{A_t \cdot g \cdot \bar{\sigma}_{at}}{T}$$

$$\bar{\sigma}_{at} = \left(1 - \frac{Z_b}{g Z_b}\right) \delta_{en} = 2590 \text{ kg/cm}^2$$

$$t \leq \frac{0,84 \cdot 98 \cdot 26 \cdot 2590}{1920} = 26 \text{ cm}$$

$$t \leq \max \begin{cases} 0,2h = 5,2 \text{ cm} \\ h \left(1 - \frac{0,3 Z_b}{\bar{Z}_b}\right) = 20,4 \text{ cm} \end{cases}$$

Donc on prendra  $t = 20 \text{ cm}$  en appuis  
 $t = 30 \text{ cm}$  en travée

4) Condition de non fragilité

$$A \geq 0,69 b h \cdot \frac{\bar{Z}_b}{\delta_{en}} = 0,53 \text{ cm}^2$$

5) Vérification des contraintes

$$\bar{\omega} = \frac{100A}{b \cdot h} = \frac{100 \cdot 3,39}{20 \cdot 26} = 0,6519 \quad \begin{cases} M = 0,0864 \\ K = 27,2 \end{cases}$$

$$\delta_a = \frac{nM}{\mu \cdot b \cdot h^2} = \frac{15 \cdot 2,11 \cdot 10^5}{0,0864 \cdot 20 \cdot 26^2} = 2709 \text{ kg/cm}^2 < \bar{\delta}_a = 2800 \text{ kg/cm}^2$$

$$\delta'_b = \frac{\delta_a}{K} = \frac{2709}{272} = 99,6 \text{ kg/cm}^2$$

### III) Calcul du voile:

le voile sera étudié par la méthode de Mr STRONGUINE  
la chambre des vannes est enterrée de 3,5 m, donc  
les deux voiles seront sollicités par la poussée  
horizontale des terres.

A une profondeur  $h$  au dessus de la surface du sol  
la pression du sol est donnée par :

$$P_s = \gamma_s \cdot h \cdot K \cdot n \quad (\text{S. STRONGUINE})$$

Où :  $\gamma_s$  = masse volumique des terres

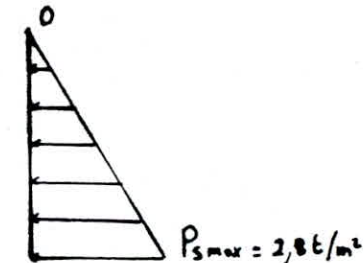
$n$  : coefficient de surcharge = 1,2

$K$  : coefficient de poussée =  $\tan^2(45^\circ - \frac{\alpha}{2}) = \tan^2(45^\circ - \frac{30^\circ}{2})$

$$\Rightarrow P_s = 0,8h$$

$$P_{s\max} = 0,8 \cdot 3,5 = 2,8 \text{ t/m²}$$

\* la paroi étant rigidement assemblée  
avec le fond, cette poussée fait naître  
un moment maximal à la base.

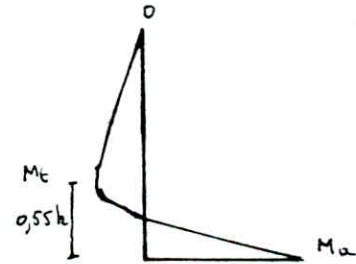


- moment d'encastrément :

$$M_a = \frac{P_s \cdot h^2}{15} = -2,29 \text{ t.m}$$

- moment maximal entraîné.

$$M_e = M(0,55h) = \frac{P_s \cdot h^2}{33,3} = +1,03 \text{ t.m}$$



\* Calcul de l'effort normal sollicitant la paroi :

- poids de la dalle :

$$6 + (1,2 \rho) \frac{L}{2} = 4300 \cdot \frac{4,8}{2} = 1032 \text{ kg/m.L}$$

- poids des poutrelles = 0

$$\frac{4}{2} \cdot 2500 \cdot (4,4 \cdot 0,22 \cdot 0,2) \cdot \frac{1}{5,04} = 192 \text{ kg/m.L}$$

- poids du voile

$$2500 \cdot (4 \cdot 0,20 \cdot 1) = 2000 \text{ kg.}$$

$$\Rightarrow N = 3,23 \text{ t.}$$

## 1) Ferrailage vertical du voile

le voile est soumis à une flexion composée:

$$M = -2,29 \text{ t.m}$$

$$N' = 3,23$$

$$e_0 = \frac{M}{N} = \frac{2,29 \cdot 10^5}{3,23 \cdot 10^3} = 70,9 \text{ m}$$

$$e_1 = \frac{h_t}{6} = 3,33 \text{ cm}$$

$e_0 > e_1 \rightarrow$  c'est une section partiellement comprimée.

$$f = e_0 + \frac{h_t}{2} - d = 70,9 + 10 - 3 = 77,9 \text{ cm}$$

$$\Rightarrow M_C = 2,52 \text{ t.m}$$

On choisira des H.A.14  $\Rightarrow \bar{\sigma}_a = 1971 \text{ kg/cm}^2$   $\left\{ \begin{array}{l} \alpha = 0,533 \\ (\text{fissuration}) \end{array} \right.$   
 Comme  $e_0 > \frac{h_t}{2} \rightarrow \bar{\sigma}'_b = 150 \text{ kg/cm}^2$   $\left\{ \begin{array}{l} \gamma = 0,82 \\ (\text{nuisible}) \end{array} \right.$

$$M_{rb} = \frac{1}{2} \cdot 0,534 \cdot 0,82 \cdot 150 \cdot 100 \cdot 17^2 = 9,52 \text{ t.m} > M$$

$$\Rightarrow A'_s = 0 \Rightarrow A'_c = 0$$

$$A_c = \frac{M}{\gamma h \bar{\sigma}_a} - \frac{N'}{\bar{\sigma}_a} = \frac{2,52 \cdot 10^5}{0,82 \cdot 17 \cdot 1971} - \frac{3230}{1971} = 7,53 \text{ cm}^2$$

$$\Rightarrow A_c = 5 \text{ HA 14} = 7,69 \text{ cm}^2/\text{m.l.}$$

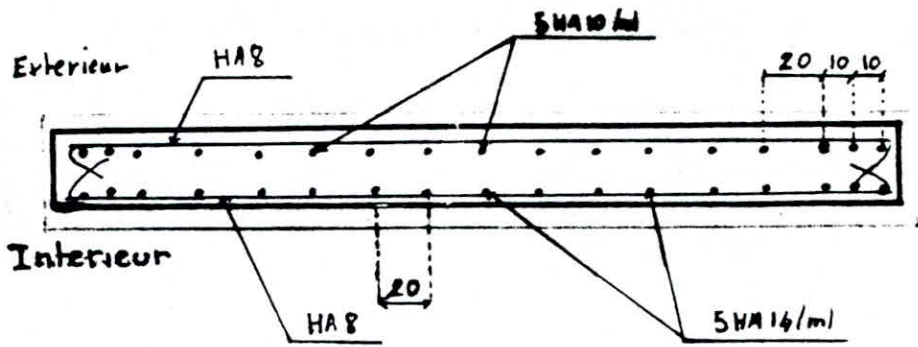
On prendra comme armature de répartitions : 5 HA 10/m.l.

$$\text{Donc : } A' = 5 \text{ HA 10 / m.l.} = 3,93 \text{ cm}^2$$

$$A = 5 \text{ HA 14 / m.l.} = 7,69 \text{ cm}^2$$

## 2) Ferrailage transversale :

On prendra forfaitairement 5 HA 8/m.l et par nappe  
 espace =  $b = 20 \text{ cm} \leq \min \left\{ \begin{array}{l} 1,5 h_t = 30 \text{ cm} \\ 50 \text{ cm} \end{array} \right.$



### 3) Vérification des contraintes

$$c = \frac{b_t}{2} - e_0 = 10 - 7,69 = -60,8 \text{ cm}$$

L'équation du moment statique nous donne  $y^3 + py + q = 0$

$$\text{avec } p = -10587,28 \\ q = 409733,6$$

On aura la racine  $y = 66,6 \text{ cm}$

$$\Rightarrow x = y + c = 5,7 \text{ cm}$$

$$I = \frac{100 \cdot 5,7^3}{3} + 15 \cdot 7,69(17 - 5,7)^2 = 20902,1 \text{ cm}^4$$

$$K = \frac{N' \cdot y}{I} = \frac{3230 \cdot 66,6}{20902,1} = 10,29$$

$$\sigma'_b = K \cdot x = 10,29 \cdot 5,7 = 58,66 \text{ kg/cm}^2$$

$$\sigma'_a = nK(h-x) = 15 \cdot 10,29(17 - 5,7) = 1744,2 \text{ kg/cm}^2 < \bar{\sigma}_a = 1971 \text{ kg/cm}^2$$

### 4) Vérification au cisaillement

$$T = P_{\max} \cdot \frac{h}{2} = 2,8 \cdot \frac{8,5}{2} = 4,9 t$$

$$\tau_b = \frac{T}{b \cdot j} = \frac{8 \cdot T}{6 \cdot 7 \cdot h} = \frac{8 \cdot 4900}{100 \cdot 7 \cdot 17} = 3,29 \text{ kg/cm}^2 < \bar{\tau}_b$$

FON DAT JONS

## FONDATIONS

### I) Contrainte admissible du sol :

En raison de la présence de débris de schistes dans les échantillons, le "LNTP" n'a pas pu faire les essais en laboratoire pour déterminer les différentes caractéristiques du sol.

Neanmoins la contrainte admissible du sol peut être estimée à partir de la résistance dynamique à la pointe par la formule préconisée par SANGERAT

$$\bar{\sigma}_0 = \frac{R_{pd}}{20}$$

N.B.: Cette formule assure un coefficient de sécurité de l'ordre de 4

Les essais de pénétration dynamique ont donné des valeurs de résistance variables avec la profondeur tout en restant supérieures à la valeur de  $R_{pd}=300$  à la profondeur "3 mètres" qui représente le niveau du radier.

Et donc la contrainte admissible du sol sera estimée à :

$$\bar{\sigma}_0 = 1 \text{ bar}$$

### II) Détermination de la hauteur du radier

La hauteur  $h_t$  du radier doit être choisie de telle manière

a :

a: éviter le poinçonnement

b: assurer la rigidité du radier

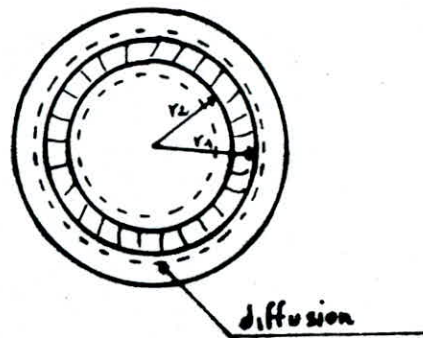
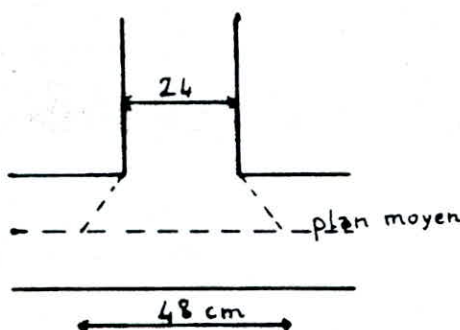
c: assurer les conditions de son vérification du débord à l'effort tranchant.

#### a) Le poinçonnement

On doit vérifier que :  $\frac{1,5Q}{P_c \cdot h_t} \leq 1,2 \bar{\sigma}_0$

$$Q = G + P = 574 t$$

$P_c$  : périmètre de contour à considérer dans le plan moyen  
 $h_t$  : épaisseur du radier.



$$P_c = 2\pi \left[ (r_1 + \frac{h_t}{2}) + (r_2 - \frac{h_t}{2}) \right] = 2\pi (r_1 + r_2)$$

$$P_c = 2\pi (10,73 + 10,97) = 136,35 \text{ m}$$

$$\Rightarrow \frac{1,5 \cdot 574 \cdot 10^3}{13635 \cdot h_t} \leq 1,2 \cdot 6,25$$

$$\Rightarrow h_t \geq 8,42 \text{ cm}$$

b) Conditions de non vérification de l'effort tranchant

$$h \geq \frac{2(b-a)-e}{4}$$

Pour permettre l'ancrage des aciers verticaux dans le radier, on laisse un débord du radier de 40 cm

b: rayon du radier = 11,40 m

a: rayon moyen du réservoir = 10,85 m

e: épaisseur de la paroi = 0,24 m

$$\Rightarrow h \geq \frac{2(11,4 - 10,85) - 0,24}{4} = 0,22 \text{ m}$$

$$\Rightarrow h = 25 \text{ cm} \quad \Rightarrow h_t = 30 \text{ cm}$$

Or on prendra  $h_t = 50 \text{ cm}$  pour assurer la rigidité du radier.

et donc :  $h_t = 50 \text{ cm}$  et  $H = 45 \text{ cm}$

### III Calcul du radier

L'étude du radier est difficile, cette difficulté réside dans la détermination du diagramme approché des réactions du sol, car cela dépend des coefficients d'élasticité relatifs à la structure du radier et du sol.

On se borne à choisir un diagramme des réactions du sol le plus souvent linéaire et même uniforme en s'assurant de la rigidité du radier et en vérifiant que les éléments de réduction associés à ce diagramme redonnent bien à l'aplomb de chaque point porteur une réaction d'intensité égale et de sens opposé à la charge provenant de la superstructure. On réalise cela en utilisant "la méthode des planchers", (C.a.d: le radier se présente comme un plancher renversé soumis à la réaction du sol diminuée du poids propre du radier).

Les appuis seront supposés être constitués par des voiles.

Pour notre cas on a à considérer deux cas:

#### - Cas 1 : Réservoir vide :

Dans ce cas le radier est soumis à la réaction du sol diminuée de son poids propre.

les parois du réservoir représentent des points d'appuis, en plus on tient compte du moment  $M_t$  de la poussée des terres au bord du radier.

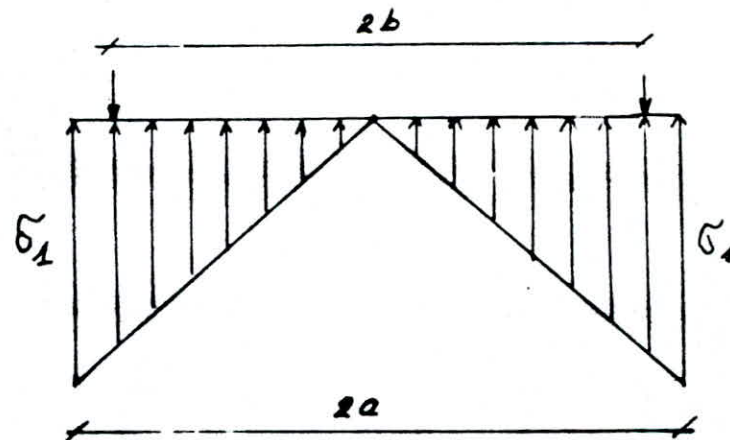
#### - Cas 2 : Réservoir plein :

Dans ce cas le radier est soumis à la réaction du sol diminuée de son poids propre et des charges de l'eau. Là aussi les parois représentent des points d'appuis; en plus on doit tenir compte du moment de l'eau  $M_e$

Mais il est clair que le cas de charge le plus défavorable est celui qui correspond au réservoir vide car pour le cas du réservoir plein le radier est presque soumis à une compression simple et donc le radier sera étudié dans le cas du réservoir vide.

On considérera que la réaction du sol sur le radier est triangulaire et nulle au centre du radier.

le schémas statique est:



$$\tilde{\sigma}_1 = 1,5 q = 1,5 \frac{Q}{\pi a^2} = 1,5 \cdot \frac{574}{\pi \cdot 41,4}$$

$$\tilde{\sigma}_1 = 2,1088 \text{ t/m}^2$$

Ce schémas sera divisé en deux schémas plus simples qui seront eux aussi divisés en deux autres schémas chacun encore plus simple, comme sera indiqué sur la page suivante.

$$M_r(A) = M_{r1} + M_{r2} - M_{r3} - M_{r4} + M_{r5}$$

$$M_t(A) = M_{t1} + M_{t2} - M_{t3} - M_{t4} + M_{t5}$$

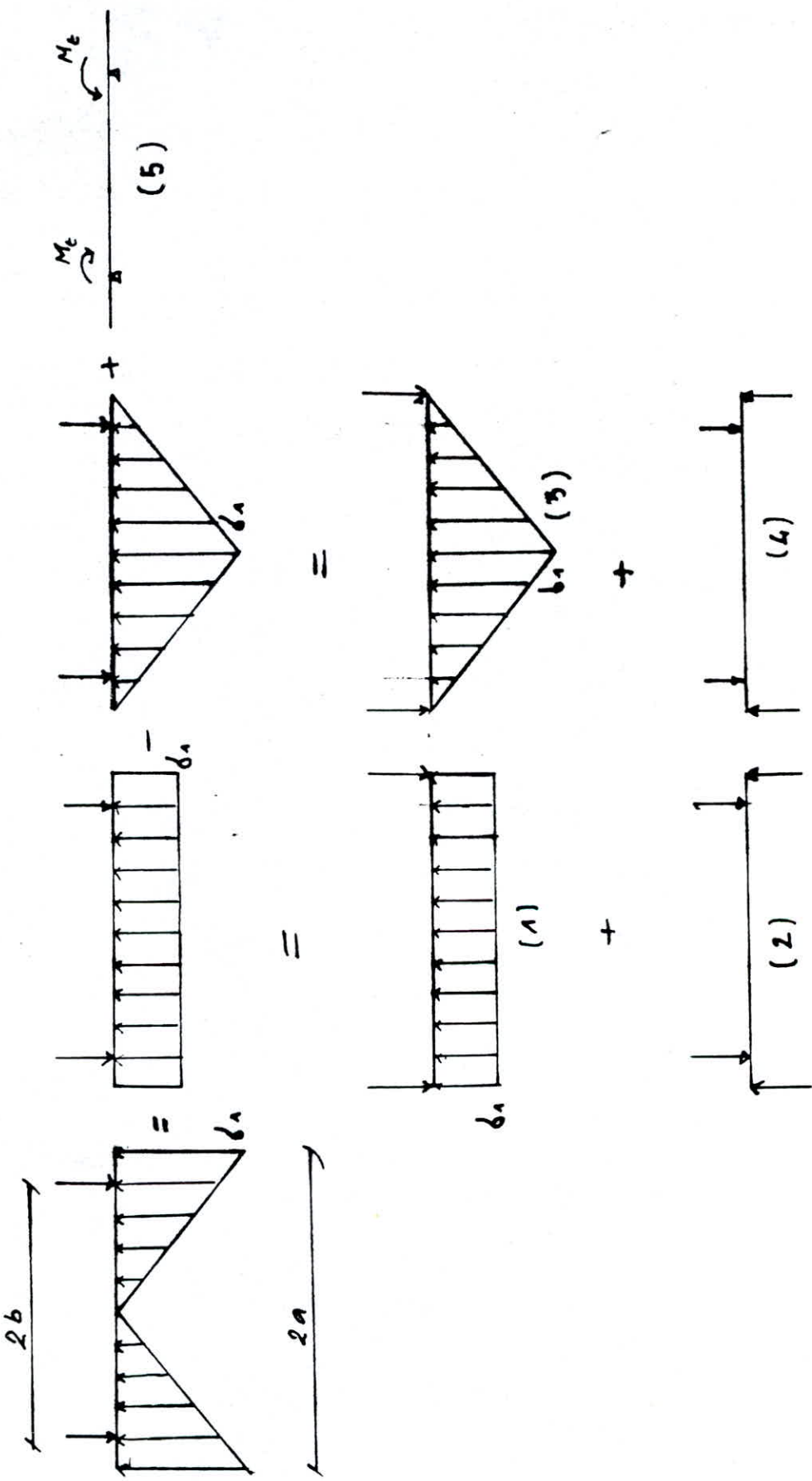
d'où:  $M_r$  : moment radial

$M_t$  : moment tangentiel.

Pour le calcul on supposera deux cas:

- \* radier simplement appuyé.
- \* radier encastré.

et on prendra ensuite le cas donnant les plus grands efforts.



Notations:

$Q$  = poids propre de la paroi et de la coupole = 574 t

$q$ : réaction du sol si celle-ci était uniforme

$$q = \frac{Q}{\pi a^2} = \frac{574}{\pi \cdot 11,4^2} = 1,406 \text{ t/m}^2$$

$a$ : distance du centre du radier à son extrémité = 11,4 m

$b$ : distance du centre du radier à la mi-épaisseur du voile = 10,85 m

$\mu$ : coefficient de Poisson = 0,15 pour le béton

$$q_1 = 1,59 = 2,1 \text{ t/m}^2$$

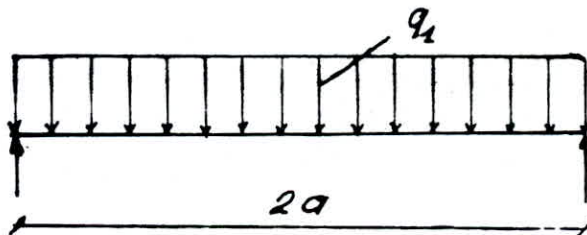
$M_r$  est donné par unité de longueur de circonference

$M_t$  est donné par unité de longueur de rayon.

A) Radier simplement appuyé:

Nous appliquerons les résultats de M<sup>r</sup> BARRES

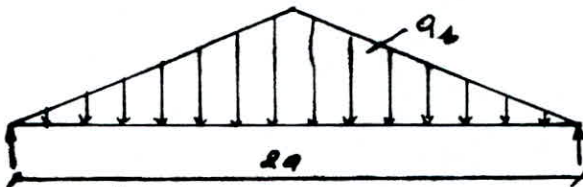
a) plaque circulaire chargée uniformément



$$M_r = \frac{q_1}{16} (3 + \mu)(a^2 - r^2)$$

$$M_t = \frac{q_1}{16} [a^2(3 + \mu) - r^2(1 + 3\mu)]$$

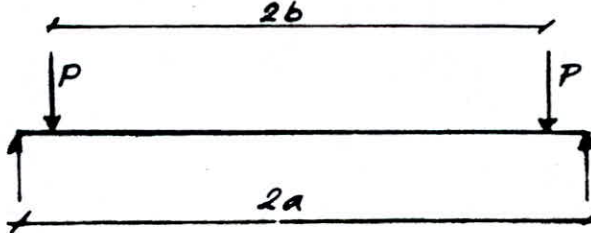
b) plaque circulaire chargée triangulairement



$$M_r = \frac{q_1}{120} \left[ 81a^2 + 20\mu a^2 - 45(3 + \mu)r^2 + 16(4 + \mu)\frac{r^3}{a} \right]$$

$$M_t = \frac{q_1}{720} \left[ 31a^2 + 29\mu a^2 - 45(1+5\mu)r^2 + 16(1+4\mu) \frac{r^3}{a} \right]$$

c) plaque circulaire chargée concentriquement:

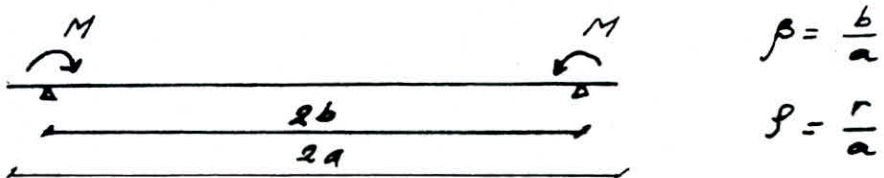


$$\ast x > b \quad M_r = 0$$

$$M_t = \frac{Pb}{2} \left( 1 - \mu \right) \left( 1 - \frac{b^2}{a^2} \right)$$

$$\ast x \leq b \quad M_r = M_t = \frac{q}{4} \left[ \left( 1 - \mu \right) \left( \frac{a^2 - b^2}{2} \right) + a^2 \left( 1 + \mu \right) \log \frac{a}{b} \right]$$

d) dalle circulaire soumise à un moment concentré



$$\ast r \leq b : M_r = M_t = \frac{M}{2} \left[ \left( 1 + \mu \right) + \frac{1}{\beta^2} \left( 1 - \mu \right) \right]$$

$$\ast r > b : M_r = M_t = \frac{\left( 1 - \mu \right) M}{2 \beta^2} \left( 1 - \frac{\beta^2}{\gamma^2} \right)$$

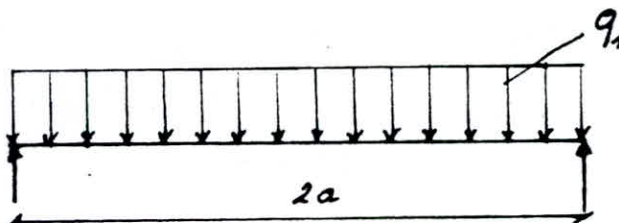
Récapitulons les résultats sur le tableau ci-dessous

		1	2	-3	-4	5	E=
$r = 0 \text{ m}$	$M_r$ t.m	-53,93	3,43	-28,68	1,72	1,68	-21,86
	$M_t$ t.m	-53,93	3,43	-28,68	1,72	1,68	-21,86
$r = 10,85$ $m$	$M_r$ t.m	-5,08	3,43	-1,58	1,72	1,68	-0,91
	$M_t$ t.m	-31,44	3,43	-14,60	1,72	1,68	-13,45

	$M_r$ t.m.	0	0	0	0	0	0
$r = 41,40$	$M_t$ t.m.	- 29,1	3,66	- 13,61	1,83	0	- 13,66
	$M_r$ t.m.	- 43,55	3,43	- 20,42	1,72	1,68	- 19,74
$r = 5m$	$M_t$ t.m.	- 49,15	3,43	- 26,71	1,72	1,68	- 21,05
	$M_r$ t.m.	- 27,39	3,43	- 19,84	1,72	1,68	- 13,16
$r = 8m$	$M_t$ t.m.	- 41,73	3,43	- 18,82	1,72	1,68	- 18,52

B) Radier parfaitement encastré:

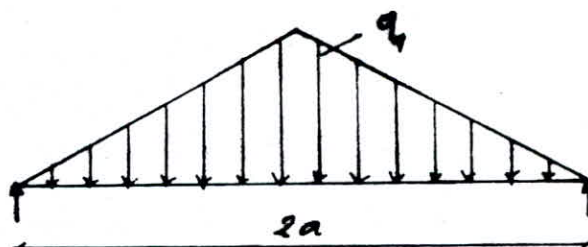
a) plaque circulaire chargée uniformément



$$M_r = \frac{q_1}{16} [a^2(1+\mu) - r^2(3+\mu)]$$

$$M_t = \frac{q_1}{16} [a^2(1+\mu) - r^2(1+3\mu)]$$

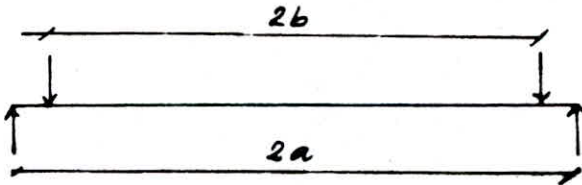
b) plaque circulaire chargée triangulairement



$$M_r = \frac{q_1}{720} [29a^2(1+\mu) - 45(3+\mu)r^2 + 16(4+\mu)\frac{r^3}{a}]$$

$$M_t = \frac{q_1}{720} [29a^2(1+\mu) - 45(1+3\mu)r^2 + 16(1+4\mu)\frac{r^3}{a}]$$

c) dalle circulaire chargée concentriquement



$$\bullet r \leq b : M_r = M_t = \frac{P \cdot b}{4} (1 + \mu) \left[ \left( 1 - \frac{b^2}{a^2} \right) + 2 \log \frac{b}{a} \right]$$

$$\bullet r > b : M_r = \frac{P \cdot b}{4} \left[ (1 + \mu) \frac{b^2}{a^2} + (1 - \mu) \frac{b^2}{r^2} - 2 \left[ 1 + (1 + \mu) \log \frac{r}{a} \right] \right]$$

$$M_t = \frac{P \cdot b}{4} \left[ (1 + \mu) \frac{b^2}{a^2} + (1 - \mu) \frac{b^2}{r^2} - 2 \left[ 1 + (1 + \mu) \log \frac{r}{a} \right] \right]$$

Récapitulons les résultats sur le tableau ci-dessous

$r = 0 \text{ m}$	$M_r$ t.m.	-19,70	+1,34	-12,69	0,67	1,68	-4,66
	$M_t$ t.m.	-19,70	+1,34	-12,69	0,67	1,68	-4,66
$r = 10,15 \text{ m}$	$M_r$ t.m.	+29,18	+1,34	+13,39	0,67	1,68	+17,14
	$M_t$ t.m.	+2,81	+1,34	+1,40	0,67	1,68	+3,76
$r = 11,4 \text{ m}$	$M_r$ t.m.	+34,26	-4,3	+15,99	-2,15	0	+16,12
	$M_t$ t.m.	+5,15	-4,3	+2,4	-2,15	0	+0,60
$r = 5 \text{ m}$	$M_r$	-9,32	+1,34	-3,14	+0,67	1,68	-3,83
	$M_t$ t.m.	-14,91	+1,34	-8,73	+0,67	1,68	-3,83
$r = 8 \text{ m}$	$M_r$ t.m.	+6,87	+1,34	+5,14	+0,67	1,68	+4,08
	$M_t$ t.m.	-7,47	+1,34	-3,83	+0,67	1,68	-1,29

Pour le ferrailage on tiendra compte des moments ci-dessous; (On a pris les moments les plus défavorable)

	$r = 0 \text{ m}$	$r = 8 \text{ m}$	$r = 10,85 \text{ m}$	$r = 5 \text{ m}$
$M_r$	+	-	+ 4,08	+ 17,14
	t.m.	- 21,86	- 13,16	- 0,11
$M_c$	+	-	-	+ 5,76
	t.m.	- 21,86	- 18,52	- 13,66
				- 21,05

## V) Ferrailage :

On fera un exemple de calcul pour le ferrailage radial supérieur ou centre du radier.

les autres cas seront donnés dans des tableaux.

$$M_r = - 21,86 \text{ t.m.}$$

$$\bar{\sigma}_b' = 150 \text{ Kg/cm}^2$$

$$h = 45 \text{ cm}$$

$$b = 100 \text{ cm}$$

On choisit des aciers H.A.25

$$\Rightarrow \bar{\sigma}_a = 1574 \text{ Kg/cm}^2$$

$$\alpha = \frac{15 \bar{\sigma}_b'}{15 \bar{\sigma}_b' + \bar{\sigma}_a} = 0,59 \Rightarrow \gamma = 1 - \frac{\alpha}{3} = 0,80$$

$M_{rb}$ : moment résistant du béton

$$M_{rb} = \frac{1}{2} \alpha \cdot \gamma \cdot \bar{\sigma}_b' \cdot b \cdot h^2 = \frac{1}{2} \cdot 0,59 \cdot 0,80 \cdot 150 \cdot 100 \cdot 45^2 = 72 \text{ t.m.}$$

$$M_{rb} = 726 \text{ t.m.}$$

$$M_{rb} > M = 21,86 \text{ t.m}$$

$$\Rightarrow A' = 0$$

$$A = \frac{M}{\gamma h \bar{\sigma}_a} = \frac{21,86 \cdot 10^5}{0,80 \cdot 45 \cdot 1574} = 38,58 \text{ cm}^2$$

$$\rightarrow A = 8H \cdot A \cdot 25 / m = 59,27 \text{ cm}^2$$

Soit  $y$  la distance de l'axe neutre de la section à la fibre la plus comprimée; le moment statique sera:

$$S_M) = \frac{by^2}{2} + nA'(y-d') - nA(h-y) = 0$$

$$\Rightarrow \frac{100 \cdot y^2}{2} - 15 \cdot 59,27 (45-y) = 0$$

$$\Rightarrow y = 17,876 \text{ cm}$$

$$I = \frac{by^3}{3} + nA'(y-d')^2 + nA(h-y)^2$$

$$= \frac{100 \cdot 17,876^3}{3} + 15 \cdot 59,27 (45-17,876)^2 = 623778,42 \text{ cm}^4$$

Vérification des contraintes

$$\bar{\sigma}_b' = \frac{M}{I} \cdot y = \frac{2186000}{623778} \cdot 17,876 = 62,65 \text{ kg/cm}^2 < \bar{\sigma}_b'$$

$$\bar{\sigma}_a = n \frac{M}{I} (h-y) = 15 \cdot \frac{2186000}{623778} (45-17,876) = 1425,8 \text{ kg/cm}^2$$

$$\bar{\sigma}_a = 1425,8 \text{ kg/cm}^2 < \bar{\sigma}_a = 1574 \text{ kg/cm}^2$$

## **ARMATURES SUPERIEURES**

## FERRAILLAGE EN CERCLES

R m	M <sub>t</sub> t <sub>m</sub>	G <sub>a</sub> kg/kg <sup>2</sup>	α	γ	M <sub>tb</sub> t <sub>m</sub>	A cm <sup>2</sup>	A choisie cm <sup>2</sup>	y cm	I cm <sup>4</sup>	G' kg/cm <sup>2</sup>	G <sub>a</sub> kg/cm <sup>2</sup>
r=0	-23,26	1574	0,59	0,80	72	38,58	8 H.A. 25/m.l. 39,27 cm <sup>2</sup>	17,88	623498,42	62,65	1425,8 < 1574
r=5	-21,05	1574	0,59	0,80	72	37,15	8 H.A. 25/m.l. 39,27 cm <sup>2</sup>	17,88	623778,42	6934	1572 < 1574
r=8	-18,52	1574	0,59	0,80	72	32,68	7 H.A. 25/m.l. 34,36 cm <sup>2</sup>	16,99	567883,97	55,41	1370,2 < 1574
r=10,53 oo r=11,4	-13,66	1804	0,57	0,812	70,3	21,94	7 H.A. 20/m.l. 21,99 cm <sup>2</sup>	14,24	408432,93	47,63	1543,1 < 1704

## ARMATURES SUPERIEURES

### FERRAILLAGE RADIAL

$R$	$M_r$ kNm	$E$ $\text{kg/cm}^2$	$\alpha$	$\gamma$	$M_{r,s}$ kNm	$A$ $\text{cm}^2$	$A_{\text{choisie}}$ $\text{cm}^2$	$y$ $\text{cm}$	$I$ $\text{cm}^4$	$\sigma'_s$ $\text{kg/cm}^2$	$\sigma_a$ $\text{kg/cm}^2$
$r=0$	-21,86	1574	0,53	0,80	73	36,99	8 H.A. 25 /m.L. 39,27 $\text{cm}^2$	11,94	660380,79	53,40	1442,7 < 1574
$r=5$	-19,54	1574	0,59	0,80	73	33,02	8 H.A. 25 /m.L. 39,27 $\text{cm}^2$	11,94	660380,79	52,08	1283,8 < 1574
$r=8$	-13,76	1704	0,57	0,812	71	20,24	7 H.A. 20 /m.L. 21,99 $\text{cm}^2$	14,62	448921,12	42,76	1420,65 < 1704
$r=19,85$ $\text{ou}$ $r=914$	-0,11	1704	0,57	0,812	71	0,97	3 H.A. 20 /m.L. 9,42 $\text{cm}^2$	13,20	226708,36	0,49	26,78 < 1704

## ARMATURES INFÉRIEURES

## FERRAILLAGE RADIAL

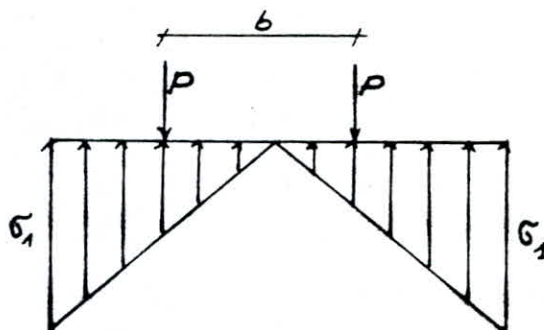
## ARMATURES INFÉRIEURES

### FERRAILLAGE EN CERCLES

$R$ $m$	$M_b$ $t.m$	$\bar{F}_a$ $kg/cm^2$	$\alpha$	$\gamma$	$M_{rb}$ $t.m$	$A$ $cm^2$	$A_{choisie}$ $cm^2$	$y$ $cm$	$I$ $cm^4$	$\delta_b'$ $kg/cm^2$	$\delta_a$ $kg/cm^2$
$r=0$	0	-	-	-	-	-	4 HA 10 / m.l.	-	-	-	-
$r=5$	0	-	-	-	-	-	4 HA 10 / m.l.	-	-	-	-
$r=8$	0	-	-	-	-	-	4 HA 10 / m.l.	-	-	-	-
$r=13,85$ $\sim$ $r=17,4$	3,76	1943	0,54	0,02	66,97	5,84	4 HA 14 / m.l. 6,16 cm <sup>2</sup>	8,24	143522,00	21,59	1445 < 1943

## IV) Vérification de la stabilité du radier.

1) Réservoir vide:



$$P = \frac{Q}{2\pi b}$$

Si la réaction du sol était uniforme on aurait eu:

$$q = \frac{Q}{\pi a^2}$$

-  $Q$ : poids de la paroi et de la coupole = 574 t

-  $a$ : rayon du radier = 11,40 m

-  $q$ : réaction uniforme du sol

$$q = \frac{574}{\pi \cdot 1140^2} = 0,14 \text{ Kg/cm}^2$$

Comme la réaction du sol est triangulaire on aura :

$$\bar{S}_1 = 1,5 \cdot q = 0,21 \text{ Kg/cm}^2$$

Et enfin en tenant compte du poids du radier:

$$h_{\text{radier}} = 50 \text{ cm}$$

$$h_{\text{grasbeton}} = 10 \text{ cm}$$

$$P_r = 2,5 \cdot \pi \cdot 11,4^2 \cdot 0,5 + 2,2 \cdot \pi \cdot 11,5^2 \cdot 0,10 = 602 \text{ t}$$

$$\bar{S} = 1,5q + \frac{P_r}{\pi a^2} = 0,21 + \frac{602 \cdot 10^3}{\pi \cdot 11,4 \cdot 10^4} = 0,36 \text{ Kg/cm}^2$$

$$\Rightarrow \bar{S}_s = 0,36 \text{ Kg/cm}^2 < \bar{S}_s = 1 \text{ Kg/cm}^2$$

2) Réservoir plein :

a) Sollicitation du 1<sup>er</sup> genre :

$$\begin{aligned} G + 1,2P &= 580t \\ \text{Poids du radier} &= 602t \\ \text{Poids d'eau} &= 2500t \end{aligned} \quad \left. \begin{array}{l} \\ \\ \end{array} \right\} \Rightarrow N = G + 1,2P + P_r + P_e$$

$$N = 3682t$$

$$\Rightarrow \tilde{\sigma}_s = \frac{N}{\pi a^2} = \frac{3682 \cdot 10^3}{\pi \cdot 4140^2} = 0,902 \text{ Kg/cm}^2 < \bar{\sigma}_s = 1 \text{ Kg/cm}^2$$

b) sollicitation du 2<sup>e</sup>me genre

le radier est sollicité par les effets du moment de renversement  $M$  et de l'effort normal  $N$  qui agissent au niveau de la base.

Nous devons éviter un décollement excessif des extrémités du radier susceptible d'altérer sa stabilité.

$$N_2 = G + P + P_r + P_e$$

$$N_2 = 574 + 602 + 2500 = 3676t$$

$$M = 4238 \text{ t.m.}$$

$$\tilde{\sigma}_{1,2} = \frac{N_2}{S} \pm \frac{M \cdot V}{I} = \frac{3676 \cdot 10^3}{\pi \cdot 4140^2} \pm \frac{4238 \cdot 10^5}{13265,06 \cdot 10^8} \cdot 4140$$

$$I = 13265,06 \text{ m}^4$$

$$V = \frac{D}{2} = a = 1,4 \text{ m}$$

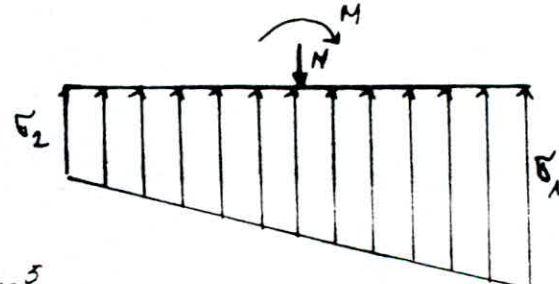
$$\Rightarrow \tilde{\sigma}_1 = 1,265 \text{ Kg/cm}^2$$

$$\tilde{\sigma}_2 = 0,170 \text{ Kg/cm}^2$$

$$\tilde{\sigma}\left(\frac{D}{4}\right) = \frac{3\tilde{\sigma}_1 + \tilde{\sigma}_2}{4} = 0,99 \text{ Kg/cm}^2$$

$$\text{Et donc : } \tilde{\sigma}_1 = 1,265 \text{ Kg/cm}^2 < 1,3 \bar{\sigma}_s = 1,30 \text{ Kg/cm}^2$$

$$\tilde{\sigma}\left(\frac{D}{4}\right) = 0,99 \text{ Kg/cm}^2 < \bar{\sigma}_s = 1,0 \text{ Kg/cm}^2$$

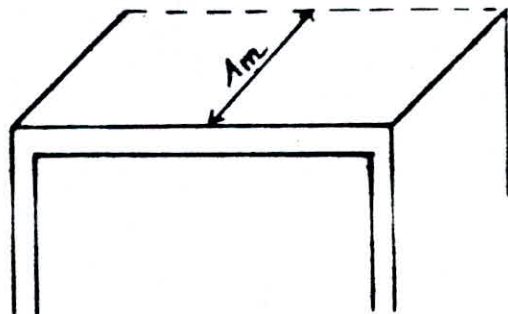


## VII Calcul du radier : de la salle des vannes

a) Introduction : Vue la jonction radier-voile qui provoque un semi-encastrement, on sera ramené à faire le calcul du radier comme un plancher renversé sous une charge uniformément répartie.

b) Calcul du panneau de dalle :  
le panneau repose sur deux appuis seulement, il sera calculé selon la méthode exposée sur l'ouvrage de M<sup>r</sup> BELAZOUNGUI "calcul des ouvrages".

On supposera des tranches de un mètre de largeur reposant sur les deux voiles.



b-1) Dimensionnement du radier

Pour assurer la rigidité du radier on prendra :

$$h_t = 20 \text{ cm}.$$

b-2) Calcul de la réaction uniforme du sol.

- poids de la dalle = 10,4t
- poids des poutrelles = 1,94t
- poids des voiles = 10,08t

$$\Rightarrow \text{poids total de la superstructure} = 22,42 \text{ t}$$

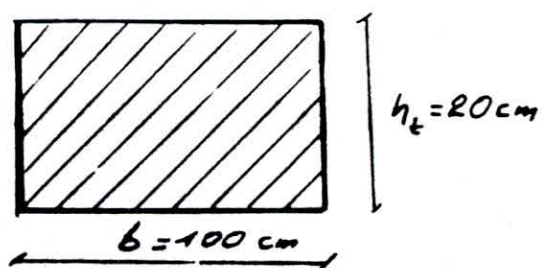
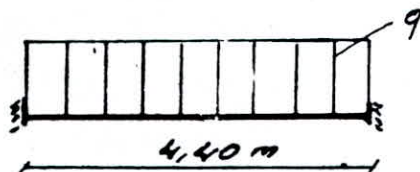
Donc la charge à prendre en compte pour le calcul (réaction du sol) :

$$q = \frac{P}{S} = \frac{22,42 \cdot 10^3}{24,2 \cdot 10^4} = 0,093 \text{ kg/cm}^2 = 0,93 \text{ t/m}^2$$

Donc notre poutre fictive sera chargée par  $q_1$  telle que

$$q_1 = q \cdot 1 \text{ m} = 0,93 \text{ t/m.l}$$

### b<sub>3</sub> : Schémas statique



On aura comme valeurs des moments:

- en travée :  $M_{t_1} = q \frac{l^2}{10} = \frac{0,93 \cdot 4,4^2}{10} = 1,86 \text{ m}/\text{m}$  (P.CHARON P.124)
- Sur appuis  $M_{a_1} = q \frac{l^2}{20} = \frac{0,93 \cdot 4,4^2}{20} = 0,90 \text{ m}/\text{m}$ .

### b<sub>4</sub> : ferrailage:

= en travée : On utilisera des H.A. 16  $\Rightarrow \bar{\sigma}_a = 1934 \text{ kg/cm}^2$   
(on tient compte de la condition de non fissuration  
d'ou fissuration préjudiciable  $K = 1,10^6$ )

$$\mu = \frac{15 \cdot M_t}{\bar{\sigma}_a \cdot b \cdot h^2} = \frac{15 \cdot 295000}{1934 \cdot 100 \cdot 17^2} = 0,0792 \rightarrow \begin{cases} E = 0,8957 \\ K = 28,8 \end{cases}$$

$$\bar{\sigma}'_b = \frac{\bar{\sigma}_a}{K} = \frac{1934}{28,8} = 67,15 \text{ kg/cm}^2 < \bar{\sigma}'_b = 150 \text{ kg/cm}^2$$

$$A = \frac{M_t}{E \cdot h \cdot \bar{\sigma}_a} = \frac{295000}{0,8957 \cdot 17 \cdot 1934} = 10,02 \text{ cm}^2$$

$$\Rightarrow A = 5 \text{ H.A. } 16 = 10,05 \text{ cm}^2$$

= Sur appuis : On utilisera des H.A. 14  $\Rightarrow \bar{\sigma}_a = 2068 \text{ kg/cm}^2$

$$\mu = \frac{15 M_a}{\bar{\sigma}_a \cdot b h^2} = \frac{15 \cdot 205000}{2068 \cdot 100 \cdot 17^2} = 0,0515 \rightarrow \begin{cases} E = 0,9049 \\ K = 37,6 \end{cases}$$

$$\bar{\sigma}'_b = \frac{\bar{\sigma}_a}{K} = \frac{2068}{37,6} = 55 \text{ kg/cm}^2 < \bar{\sigma}'_b = 150 \text{ kg/cm}^2$$

$$A = \frac{M_a}{E \cdot h \cdot \tilde{\sigma}_a} = \frac{205000}{0,9049 \cdot 17 \cdot 2068} = 6,44 \text{ cm}^2$$

$$\Rightarrow A = 5 H.A. 14 = 7,70 \text{ cm}^2$$

\* Armatures de répartitions (dans l'autre sens)

$$A_r \geq \max \left( \frac{A}{4}, A_{\min} \right)$$

$$A_{\min} = \max \left\{ \begin{array}{l} 0,69 b \cdot h \cdot \frac{\tilde{\sigma}_b}{\tilde{\sigma}_{en}} = 0,69 \cdot 100 \cdot 17 \cdot \frac{6,30}{4200} = 1,75 \text{ cm}^2 \\ b h_t \cdot \frac{1,2}{\tilde{\sigma}_{en} - 2800} = \frac{100 \cdot 80 \cdot 1,2}{4200 - 2800} = 1,2 \text{ cm}^2 \end{array} \right.$$

$$\frac{A}{4} = \frac{10,02}{4} = 2,50 \text{ cm}^2$$

$$\Rightarrow A_r = 5 H.A. 8 = 2,51 \text{ cm}^2$$

b.5: Vérification des contraintes

$$w = \frac{100 \cdot A}{b \cdot h} = \frac{100 \cdot 10,06}{100 \cdot 17} = 0,582 \rightarrow \begin{cases} E = 0,8977 \\ K = 33,9 \end{cases}$$

$$\tilde{\sigma}_a = \frac{M}{A \cdot E \cdot h} = \frac{295000}{10,06 \cdot 0,8977 \cdot 17} = 1922 \text{ kg/cm}^2 < \tilde{\sigma}_a = 1934 \text{ kg/cm}^2$$

$$\tilde{\sigma}'_b = \frac{\tilde{\sigma}_a}{K} = \frac{1922}{33,9} = 56,7 \text{ kg/cm}^2 < \tilde{\sigma}'_b$$

\* Vérification au cisaillement :

$$\tilde{\tau}_b = \frac{T}{b \cdot g} < \bar{\tau}_b = 1,15 \tilde{\sigma}_b$$

$$T = 9 \cdot \frac{l}{2} = 0,93 \cdot \frac{4,4}{2} = 2,05 t$$

$$\tilde{\tau}_b = \frac{T}{b \cdot \frac{g}{8} \cdot h} = \frac{8 \cdot 2050}{100 \cdot 7 \cdot 17} = 1,88 \text{ kg/cm}^2 < \bar{\tau}_b = 7,20 \text{ kg/cm}^2$$

b-6: Vérification de la stabilité'

$$P_{\text{total}} = P_{\text{superstructure}} + P_{\text{cadier}}$$

$$P_{\text{sup.}} = 22,42 \text{ t}$$

$$P_{\text{cadier}} = 2500(0,20 \cdot 24,2) + (175 \cdot 24,2) \cdot 1,2 = 17,18 \text{ t}$$

$$P_{\text{béton propre}} = 2200 (0,20 \cdot 24,2) = 10,65 \text{ t}$$

$$\Rightarrow P_{\text{total}} = 50,25 \text{ t}$$

$$\rightarrow \sigma_s = \frac{P}{s} = \frac{50,25 \cdot 10^3}{24,2 \cdot 10^4} = 0,21 \text{ kg/cm}^2 < F_s = 1 \text{ bar.}$$

## VII Tassements

Comme l'ouvrage repose sur un sol essentiellement composé de schistes, le problème des tassements n'est pas à craindre. (Voir la coupe ci-dessous) pour la salle des vannes dont la charge est faible par rapport au réservoir.

On a prévu un joint de rupture pour éviter le tassement différentiel : Largeur : 3 cm

Differentes couches du sol données par l'un des trois  
(2) sondages carottés effectués.

Remblai Argilo-Gravéoleux	
	0
	1,50
— — — — — — — —	Argile brune enrobant de petits débris de schistes
	5,50
	7,80 m niveau du reflux
	12,0
	Schistes cristallins plus ou moins altérés
	15,6
○ ○ ○ ○ ○ ○ ○ ○	Schistes cristallins broyés en petits débris
	18,60
— — — —	Schistes cristallins altérés

## BIBLIOGRAPHIE

- Cahier des charges applicables au calcul des réservoirs
- R.P.A. 81
- Règles C.C.B.A. 68
- Plaques et coques - Timoshenko .
- Traité de béton armé - Guérin . Tome 5
  - Tome 6
  - tome 7
- Calcul et vérification des ouvrages en béton armé (P. Charron)
- Calcul pratique des tours en béton armé - M. Diver .
- Traité de béton armé : tome 2. Bellagougui.
- Conception et calcul des structures soumises aux séismes conformément aux règles R.P.A. 81
- Fondations - Leonards .
- Mécanique des sols . - Sanglerat : tomes 1 et 2
- Calcul des structures - Stronguine
- Calcul pratique des réservoirs en zone sismique -
- Résumé des règles actuelles d'étude sismique - Davidovici -  
sismique pour les installations de réacteurs nucléaires .
  - John A. Blume and Associates -

